

RUOLO DELLA CITOGENETICA NELLA DIAGNOSI DEI SARCOMI

		STATO DELLA RI	EVISIONE
N.	Data/Anno	Modifiche	Autori
01	2025	Revisione	Coordinatrici GdS Anno 2025 : Francia di Celle Paola, Scatolini Maria, Venesio Tiziana
00	2018	Prima emissione	Componenti Gruppo di Stesura Anno 2018

A cura del Dr. Carmine Dell'Aglio

Approvato dal Gruppo di Studio sulla Patologia Molecolare Anno 2018

Partecipanti:

Susanna Cappia, Laura Casorzo, Andrea Castelli, Massimo Di Benedetto, Patrizia Agnese Falcone, Paola Francia di Celle, Doriana Giustetto, Genny Jocollé, Antonella Maffè, Caterina Marchiò, Narciso Mariani, Sara Orecchia, Roberta Patetta, Maria Scatolini, Francesca Schillaci, Stefano Taraglio, Silvana Ungari, Claudia Veggiani, Tiziana Venesio, Ludovica Verdun di Cantogno



Rete Oncologica Piemonte e Valle d'Aosta 2025

1



Ruolo della Citogenetica nella diagnosi dei Sarcomi

Nella prima parte della riunione del 19 novembre 2018 il Dr. Pisacane (IRCCS Candiolo) ha illustrato gli aspetti fondamentali della diagnostica morfologica dei sarcomi maligni individuando le situazioni che richiedono l'approfondimento molecolare.

Il documento che segue raccoglie la relazione condotta dal Dr. Carmine Dell'Aglio (Laboratorio di Citogenetica - IRCCS Candiolo) come approfondimento della diagnostica dei sarcomi, tumori rari e altamente eterogenei per cui si cerca di individuare marcatori in grado di migliorarne la classificazione.

L'analisi del cariotipo è sempre stata una metodica di riferimento per queste neoplasie, tuttavia viene oggi spesso superata dai metodi FISH (ibridazione fluorescente in situ) in grado di operare con buona sensibilità in interfase, su sospensioni cellulari o preparati istologici.

Le alterazioni genetiche riscontrate nei sarcomi sono assai numerose.

La relazione ripercorre le attuali conoscenze in materia di classificazione molecolare dei sarcomi, gli algoritmi da utilizzare nei casi di diagnosi dubbia (lesione benigna vs maligna) o differenziale (istotipi con caratteristiche morfologiche o immunofenotipiche simili).

Sono riportate le principali forme di sarcoma (Sarcoma di Ewing, Ewing-like, Sinoviale, Liposarcoma, Rabdomiosarcoma, Dermatofibrosarcoma, ecc) unitamente al quadro delle loro caratteristiche citogenetiche.

Resta evidente come i sarcomi siano un esempio di patologia rara che richiede un'alta specializzazione diagnostica raggiungibile in pochi centri e che impone una collaborazione stretta tra le diverse competenze.





Ruolo della Citogenetica nella diagnosi dei Sarcomi



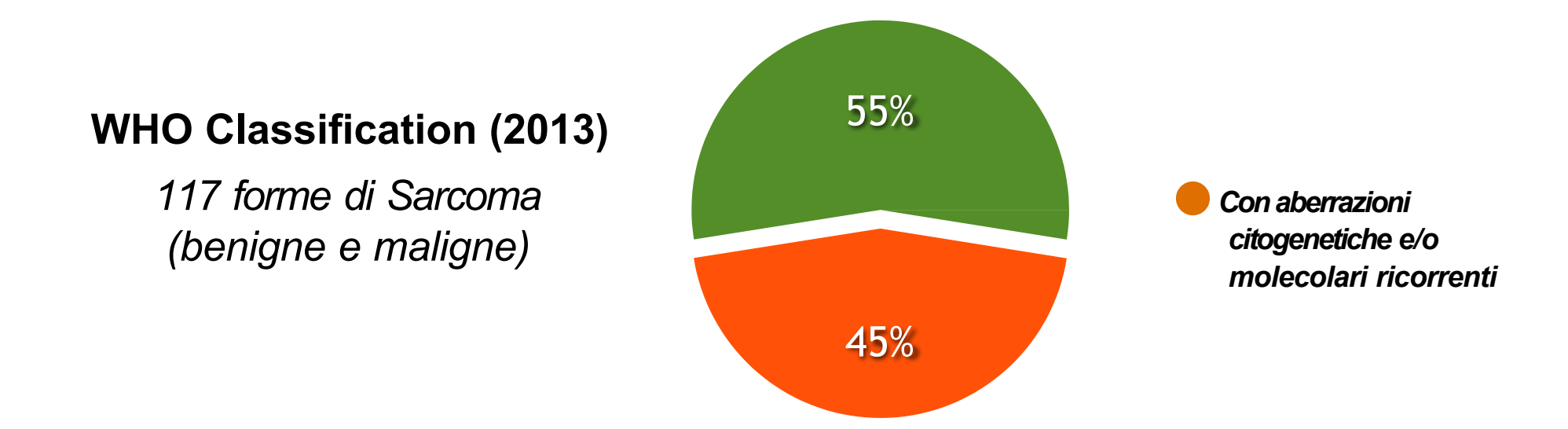
Laboratorio di Citogenetica Oncologica IRCCS-Candiolo (TO)

Introduzione ai Sarcomi

- Rari tumori di origine mesenchimale (incidenza 5 /100.000 l'anno, M>F).
- Costituiscono <1% di tutti i tumori maligni.
- Estremamente eterogenei da un punto di vista morfologico (>100 istotipi classificati sec. WHO 2013) e genetico.
- La diagnosi si basa sulla morfologia, espressione di marcatori immunoistochimici e presenza di specifiche alterazioni genetiche.
- Le opzioni terapeutiche di prima linea sono la resezione chirurgica, chemioterapia e radioterapia.
- Nonostante siano note specifiche alterazioni genetiche, non esistono efficaci terapie a bersaglio molecolare.

Eziopatogenesi

- Radiazioni, carcinogeni (clorofenoli), virus (HV8).
- Suscettibilità genetica (NF-1, Sindrome di Gardner, Li-Fraumeni, etc.).
- Specifiche anomalie genetiche:
 - Mutazioni somatiche (c-KIT e PDGFRA);
 - Alterazione del numero di copie (MDM2/CDK4);
 - Riarrangiamenti cromosomici (EWSR1, DDIT3).



Alterazioni genomiche nei Sarcomi

- Sarcomi a cariotipo semplice

(Sarcoma di Ewing, Sarcoma sinoviale, Liposarcoma mixoide)

- Sarcomi a cariotipo complesso

(Liposarcoma pleomorfo, Leiomiosarcoma)

- Sarcomi con alterazioni molecolari

ricorrenti

(GIST, Schwannoma maligno)

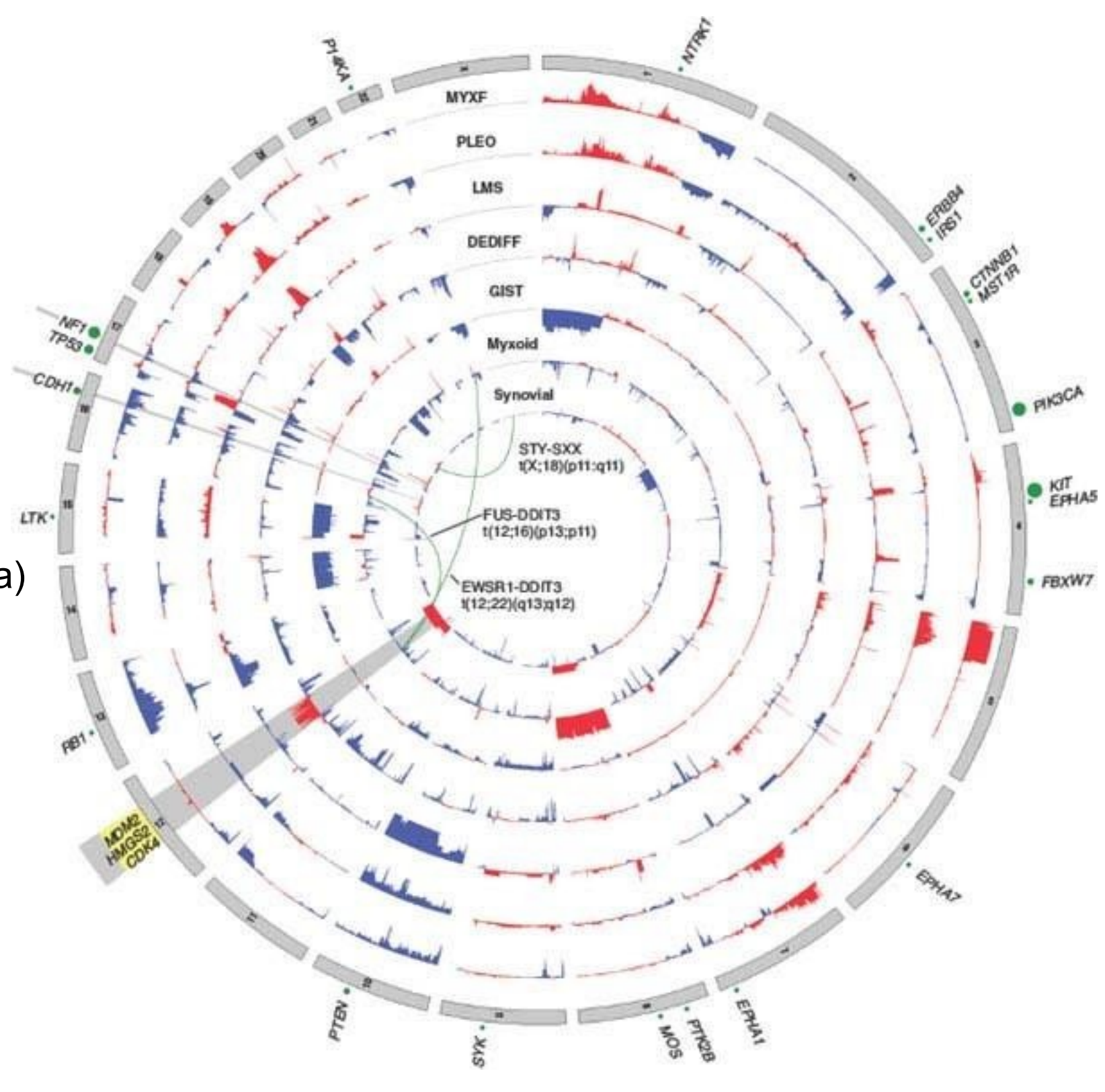
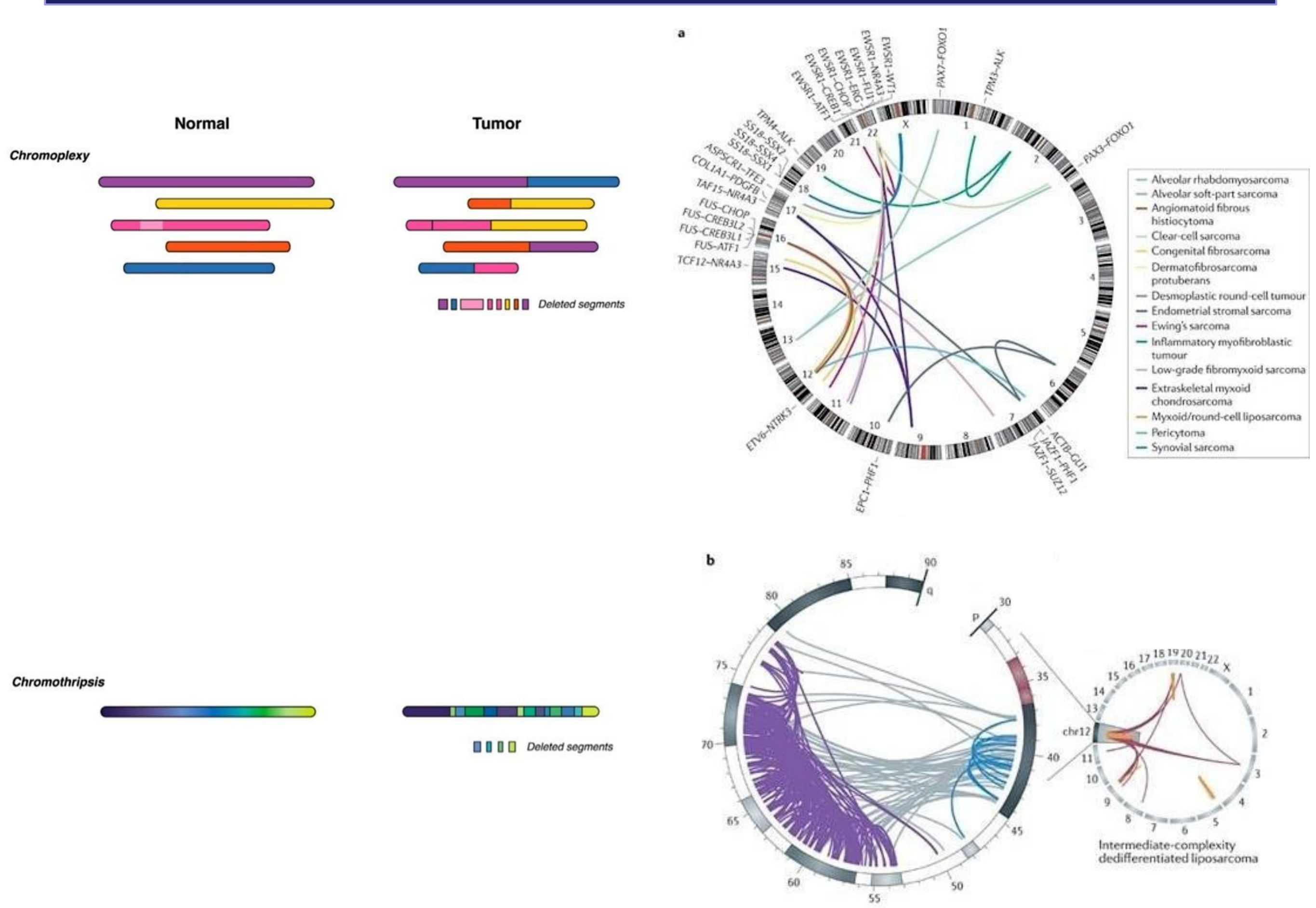
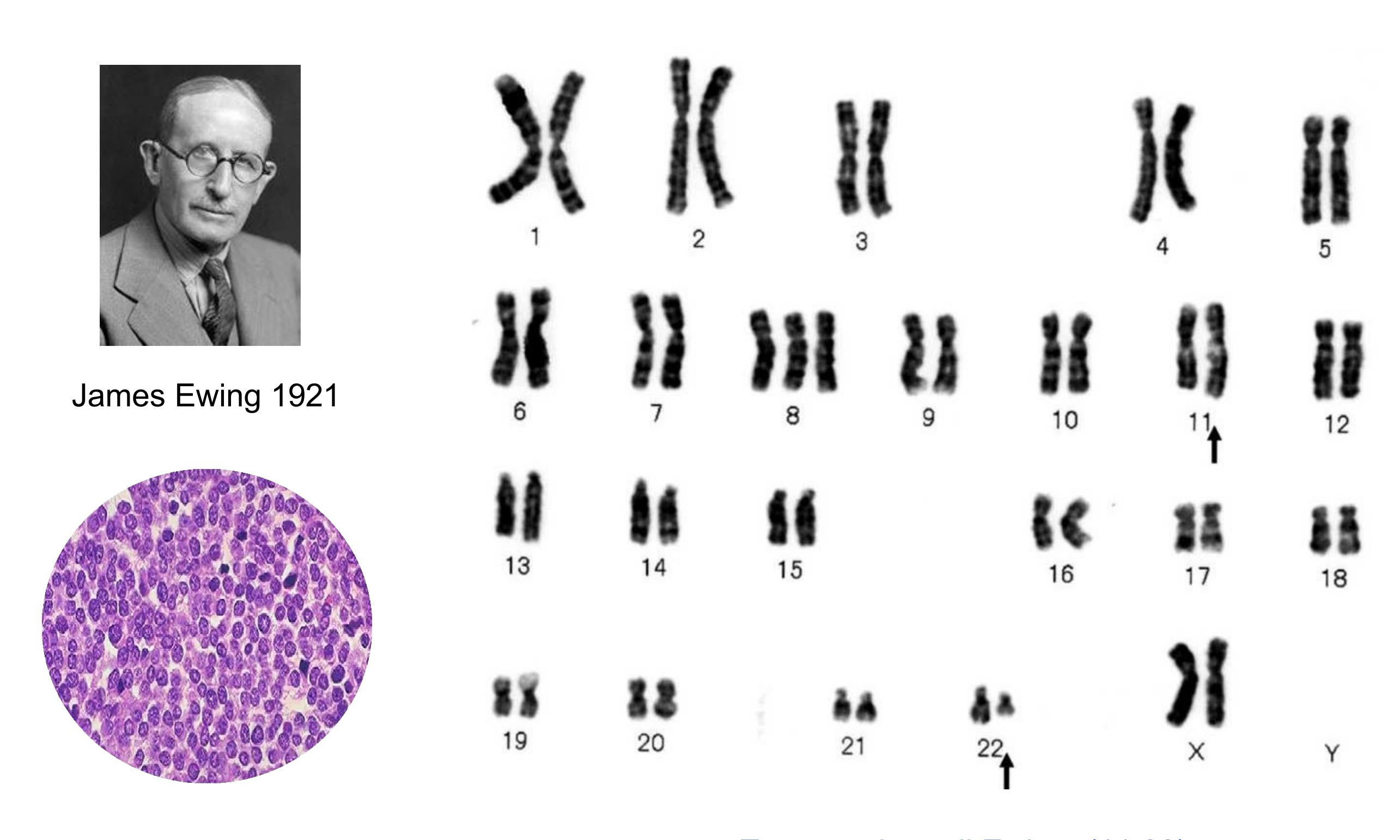


FIGURE 26.2 Nucleotide and copy number alterations in soft tissue sarcoma. The outer ring indicates chromosomal position. The second through fifth rings represent four subtypes with complex karyotypes (as labeled; MYXF, myxofibrosarcoma; PLEO, pleomorphic liposarcoma; LMS, leiomyosarcoma; DEDIFF, dedifferentiated liposarcoma). The three inner rings represent subtypes with simple karyotypes (Myxoid, myxoid/round cell liposarcoma). The plots show the statistical significance of genomic aberrations, with amplification in red and deletion in blue. Green curves indicate the chromosomal breakpoints of pathognomonic translocations in myxoid/round-cell liposarcoma and synovial sarcoma. Genes harboring somatic nucleotide alterations are indicated with green circles whose size is proportional to their frequency of occurrence. (Courtesy of Barry S. Taylor, Computational Biology Center, Memorial Sloan-Kettering Cancer. Adapted from ref. 19.)

Chromoplexy e Chromothripsis: "eventi genetici catastrofli"



La Citogenetica classica nella diagnosi dei Sarcomi



Traslocazione di Ewing t(11;22)
Descritta per la prima volta nel 1983 da
Aurias et al. e Turc-Carel et al.

Limiti della Citogenetica classica

ANALISI DEL CARIOTIPO:

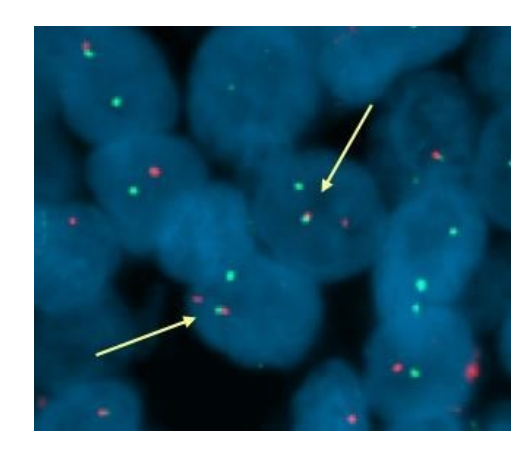
- TECNICA LABORIOSA;
- TEMPI LUNGHI DI ESECUZIONE;
- SENSIBILITA' LIMITATA;
- ESEGUIBILE SOLO SU CELLULE IN DIVISIONE;
- SCARSA QUALITA' DEI PREPARATI;
- CARIOTIPI COMPLESSI.

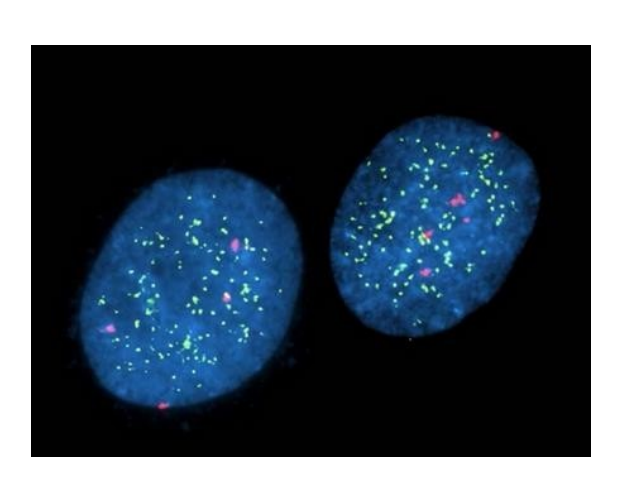


La Citogenetica molecolare come alternativa all'analisi del cariotipo

Fluorescence in Situ Hybridization (FISH):

- SENSIBILITA' ELEVATA;
- ESEGUIBILE SU NUCLEI IN INTERFASE;
- ESEGUIBILE SU SOSPENSIONI CELLULARI O PREPARATI ISTOLOGICI;
- IDENTIFICAZIONE DI ANOMALIE NUMERICHE E STRUTTURALI IN CARIOTIPI COMPLESSI;
- IDENTIFICAZIONI DI ABERRAZIONI CROMOSOMICHE CRIPTICHE.





Ruolo della Citogenetica molecolare nella pratica clinica

RICHIESTA D'INDAGINE:

- Supporto nella definizione della diagnosi:
 - Difficoltà nella distinzione tra lesioni benigne e maligne.
 - Diagnosi differenziale tra istotipi con caratteristiche morfologiche/immunofenotipiche simili.
 - Difficoltà nella distinzione tra lesioni sarcomatose e carcinomi o altre neoplasie.

- Valutazione eleggibilità a terapia farmacologica mirata.

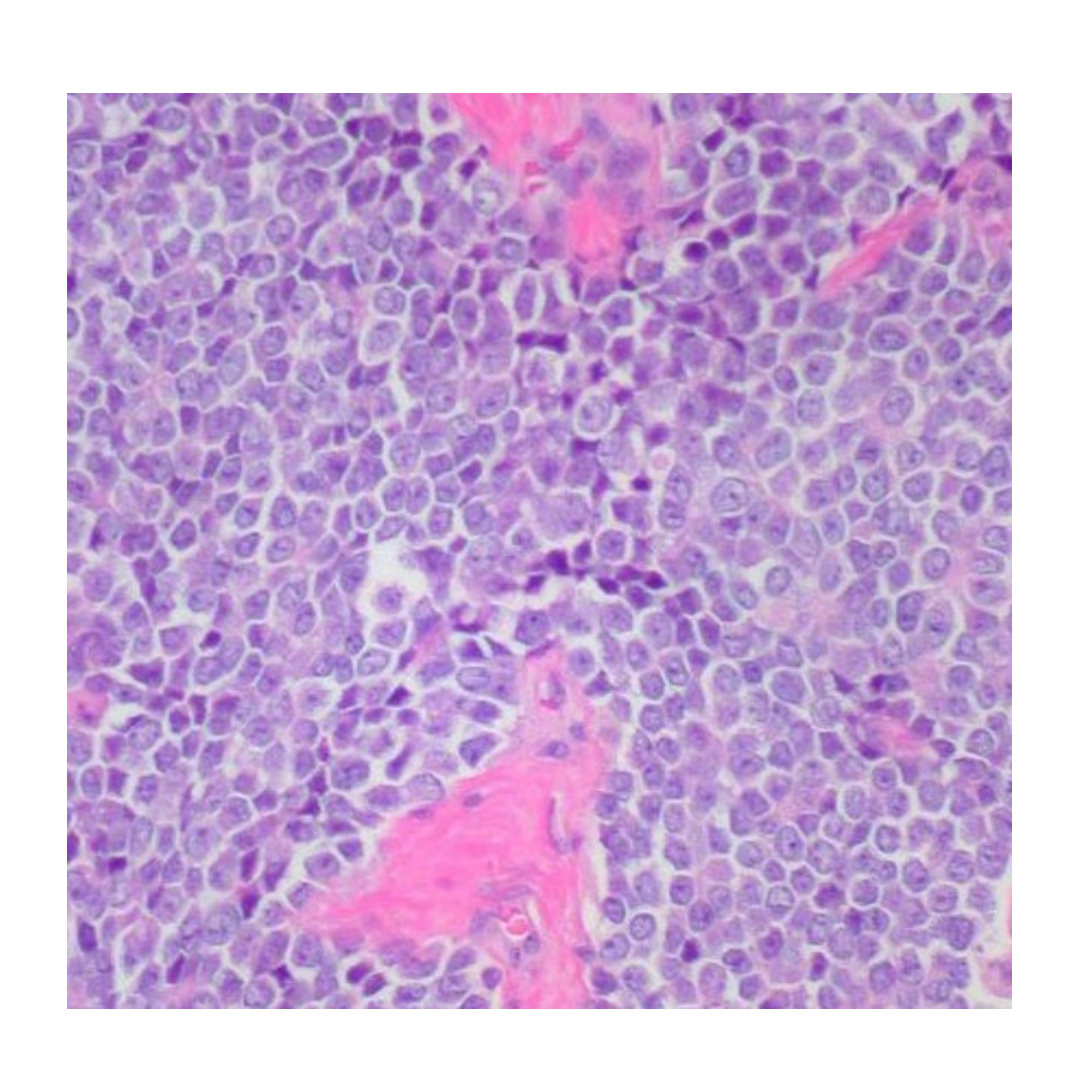
- Ricerca di alterazioni genetiche a scopo prognostico.

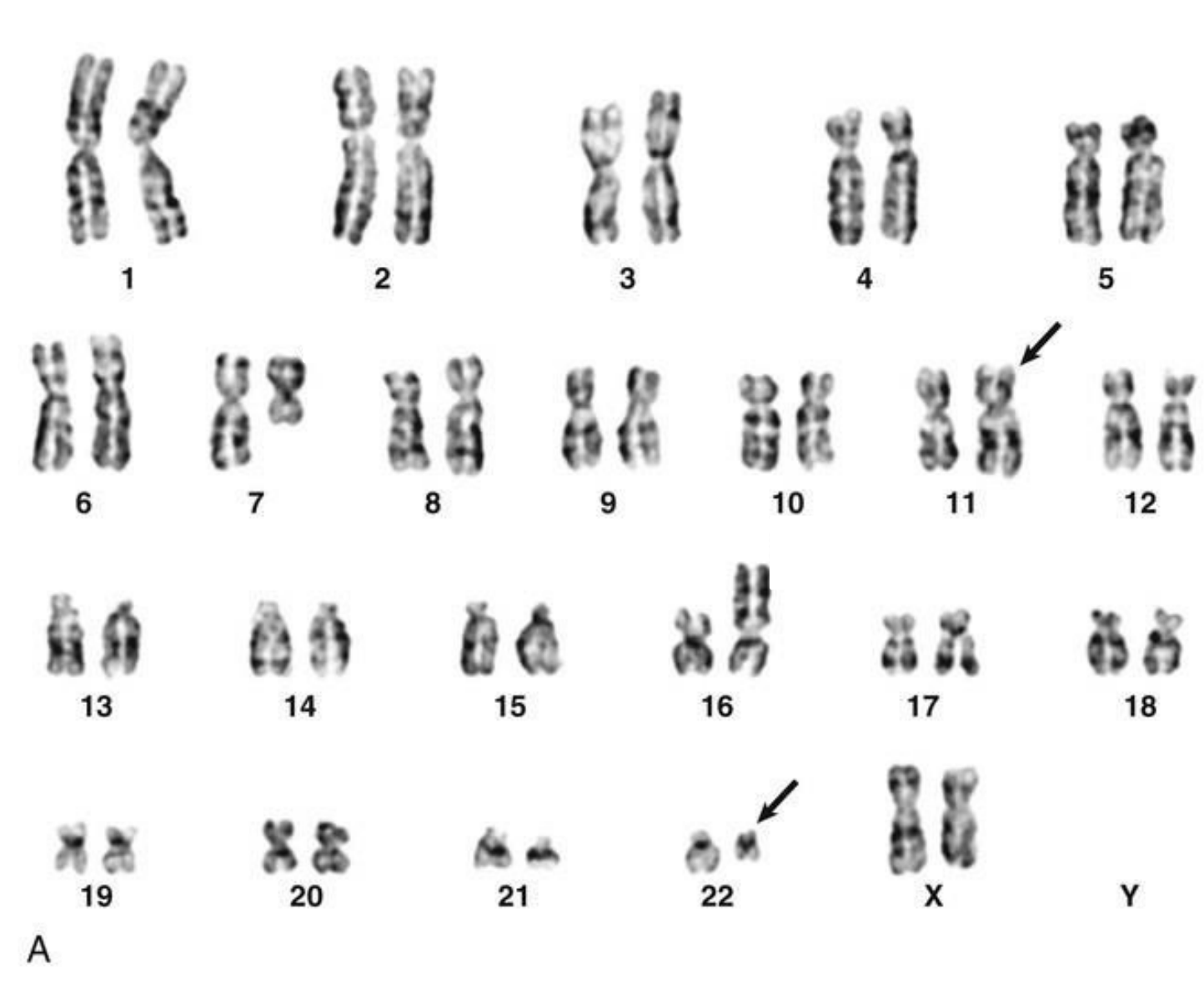
Principali alterazioni genetiche nei Sarcomi

Gene	Aberrazione	Lesione	Ruolo
ALK	Riarrangiamento	Tumore miofibroblastico infiammatorio	Diagnostico / Terapeutico
BCOR	Riarrangiamento	Ewing-like	Diagnostico
CDK4	Amplificazione	Liposarcoma ben/dedifferenziato	Diagnostico / Terapeutico
CIC	Riarrangiamento	Ewing-like	Diagnostico
DDIT3	Riarrangiamento	Liposarcoma mixoide	Diagnostico
EWSR1	Riarrangiamento	Sarcoma di Ewing/PNET	Diagnostico
MDM2	Amplificazione	Liposarcoma ben/dedifferenziato	Diagnostico
NR4A3	Riarrangiamento	Condrosarcoma mixoide extrascheletrico	Diagnostico
PAX3 / PAX7	Riarrangiamento	Rabdomiosarcoma alveolare	Diagnostico / Prognostico
PDGFRB	Riarrangiamento	Dermatofibrosarcoma protuberans	Diagnostico / Terapeutico
SS18	Riarrangiamento	Sarcoma sinoviale	Diagnostico

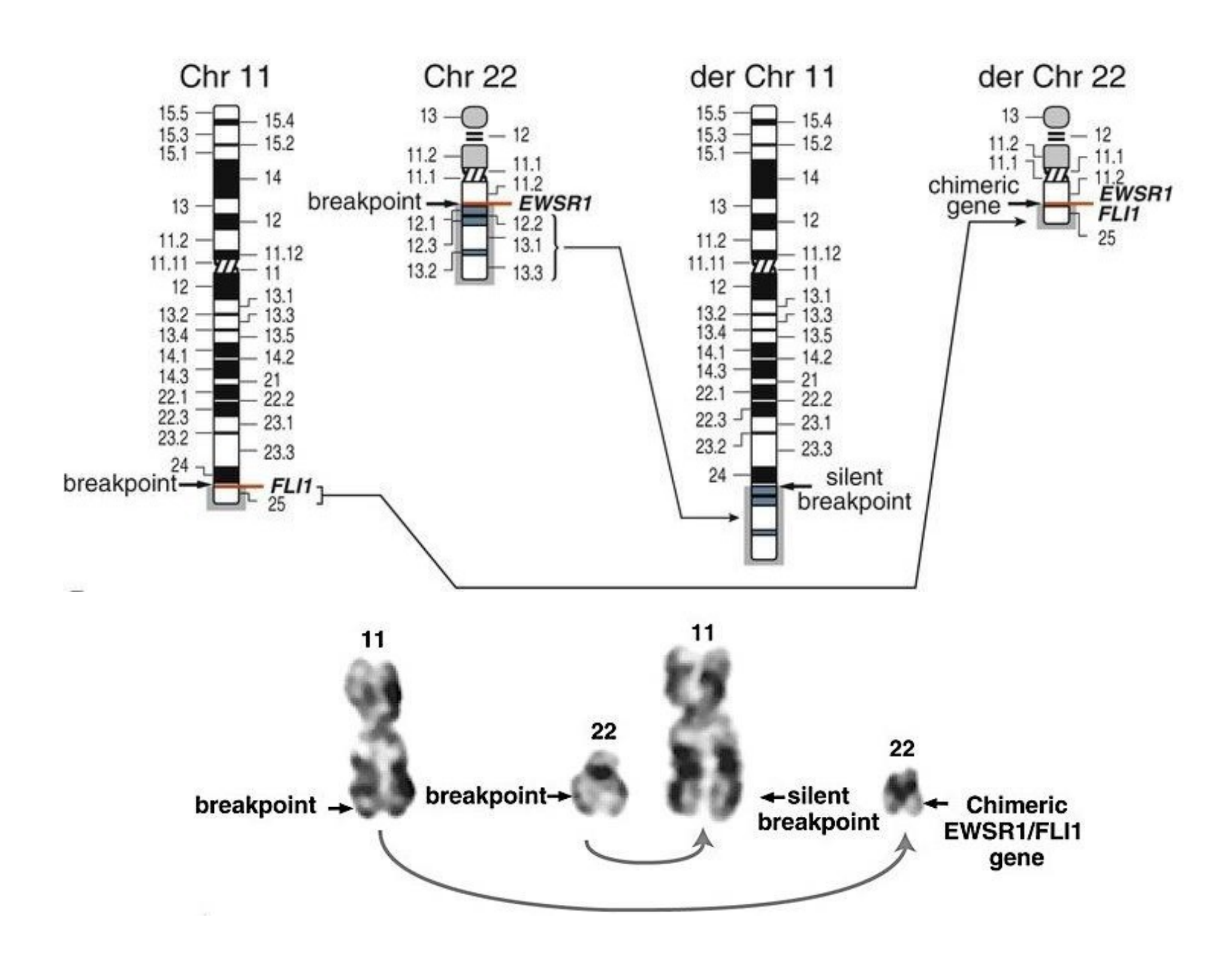
Sarcoma di Ewing

Origina da cellule di origine neuroectodermica e si manifesta prevalentemente nei bambini e nei giovani adolescenti, con localizzazione a livello delle ossa del bacino, della regione toracica e delle gambe.



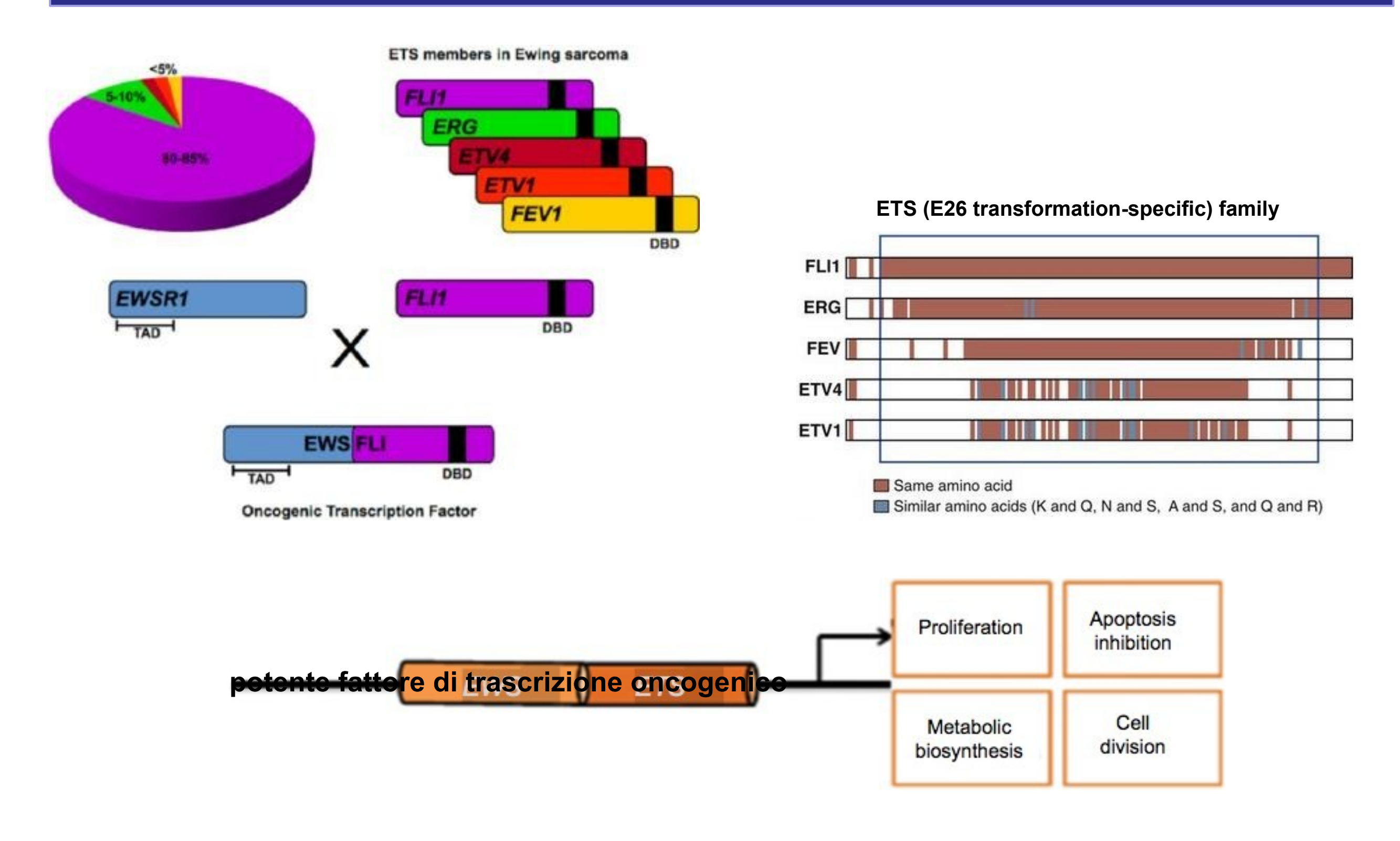


t(11;22)(q24;q12)



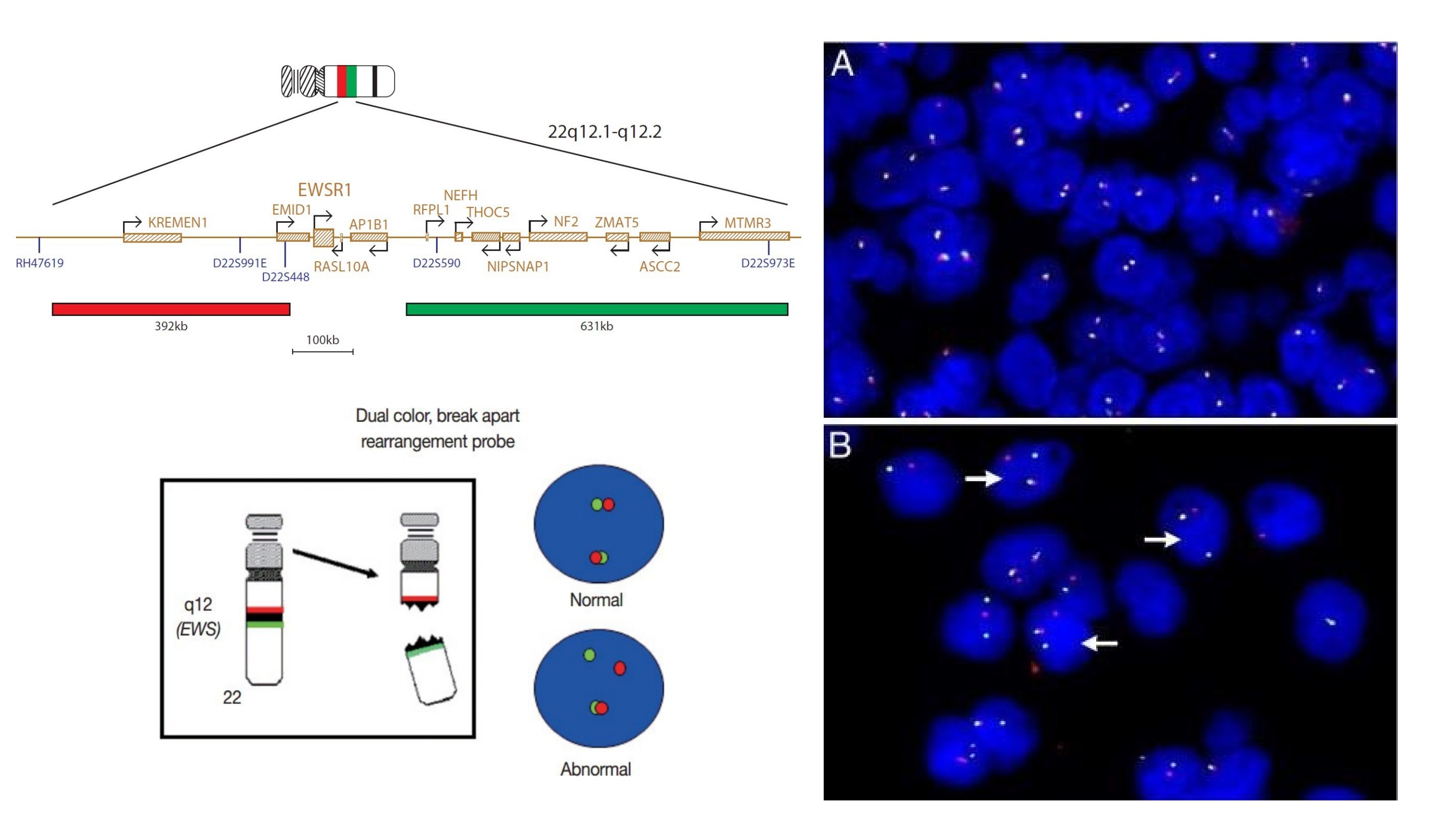
La t(11;22)(q24;q12) è la prima traslocazione associata ad un sarcoma ad esser stata caratterizzata a livello molecolare (Delattre et al. 1992).

Sarcoma di Ewing: altri possibili riarrangiamenti



Sono descritti rari casi in cui *EWSR1* risulta riarrangiato con geni <u>non</u> appartenenti alla "ETS family" (*NFATC2* in 20q13, *PATZ1* in 22q12, *POU5F1* in 6p21, *SMARCA5* in 4q31 e *SP3* in 2q31).

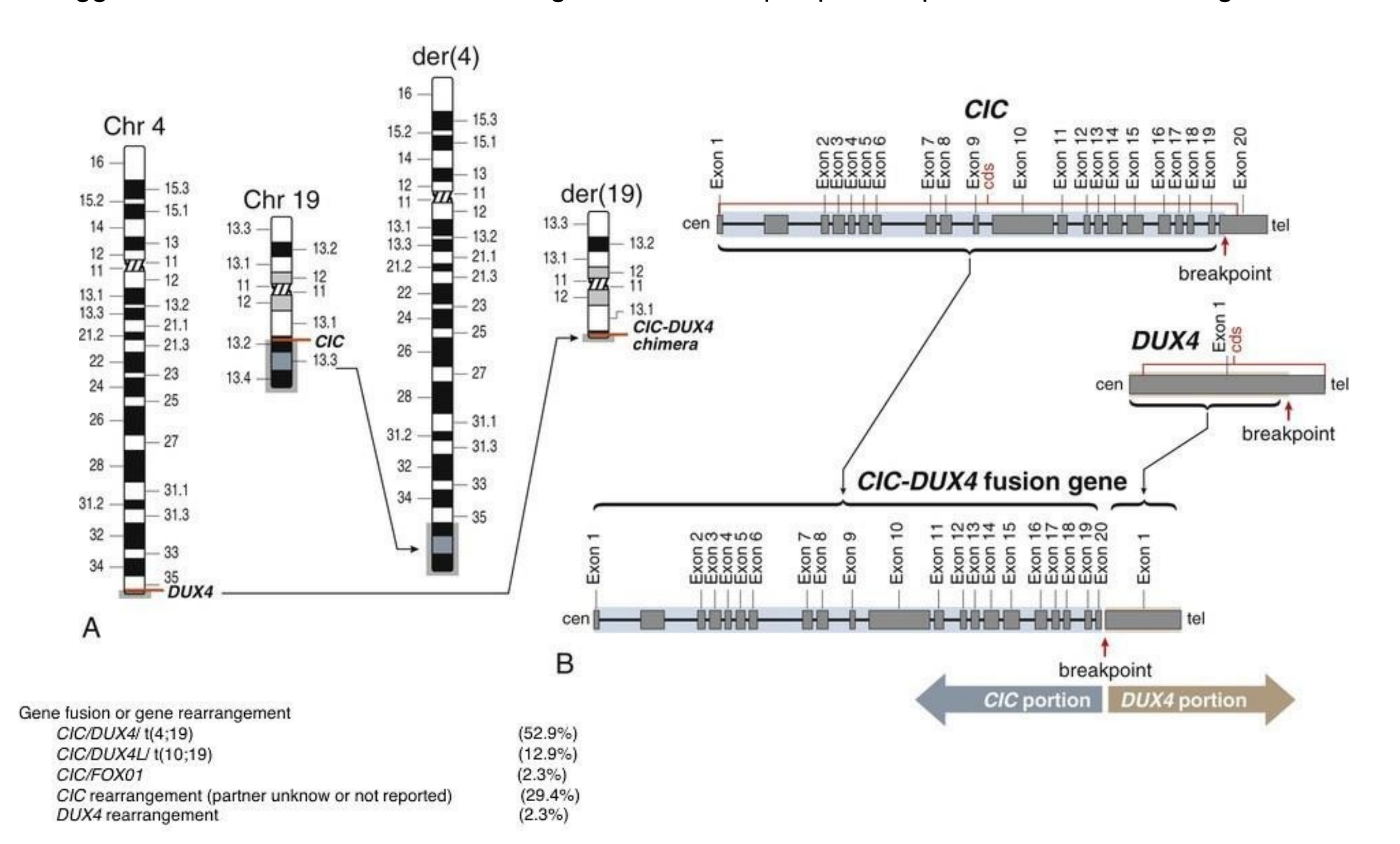
zione del riarrangiamento di EWSR1 mediante FISH



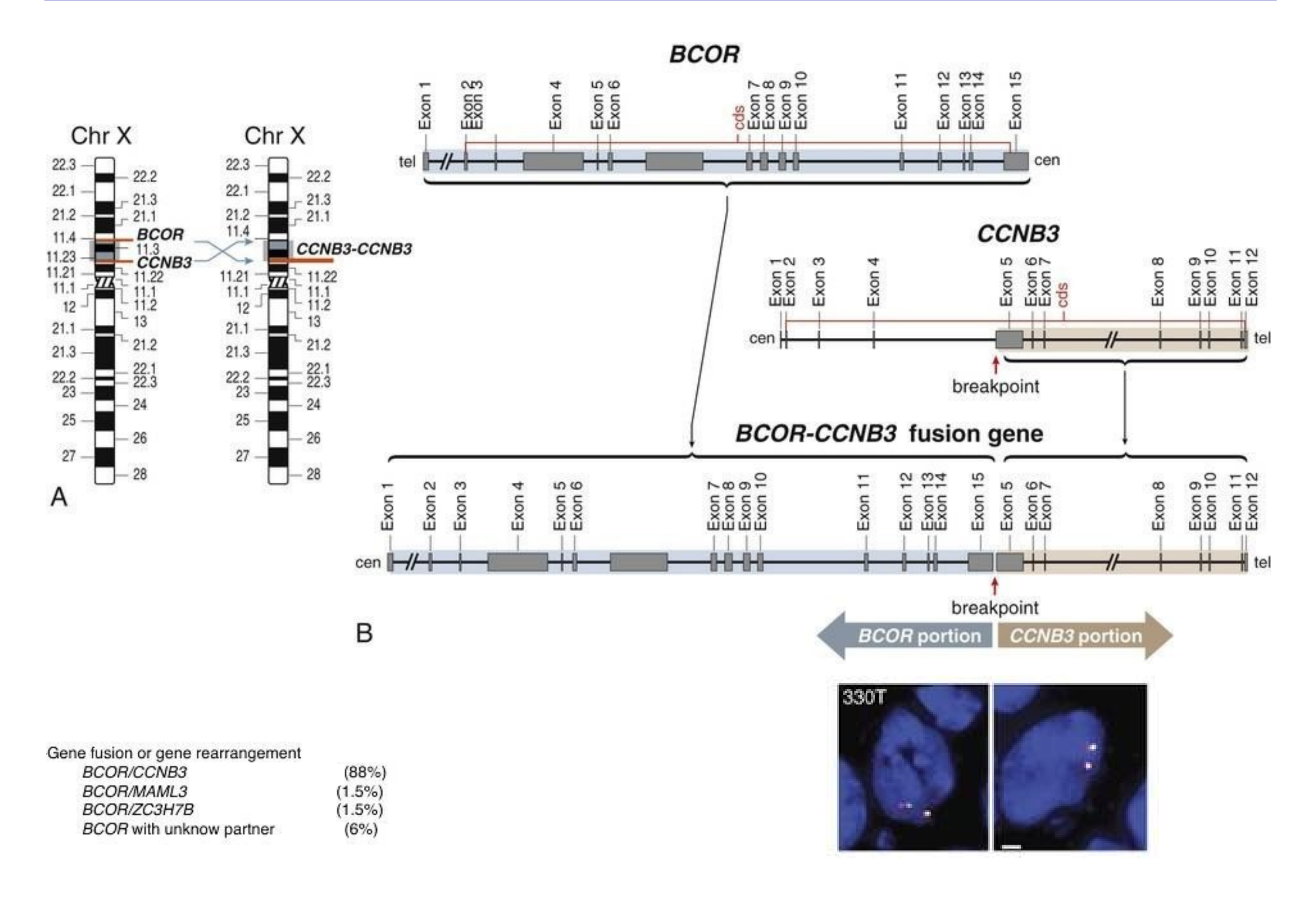
(Pattern di segnali alternativi <5%)

Sarcomi Ewing-Like: riarrangiamento dei geni CIC e

Presentano caratteristiche morfologiche simili al sarcoma di Ewing, ma clinicamente più aggressivi. Mostrano resistenza ai regimi chemioterapici previsti per il sarcoma di Ewing.

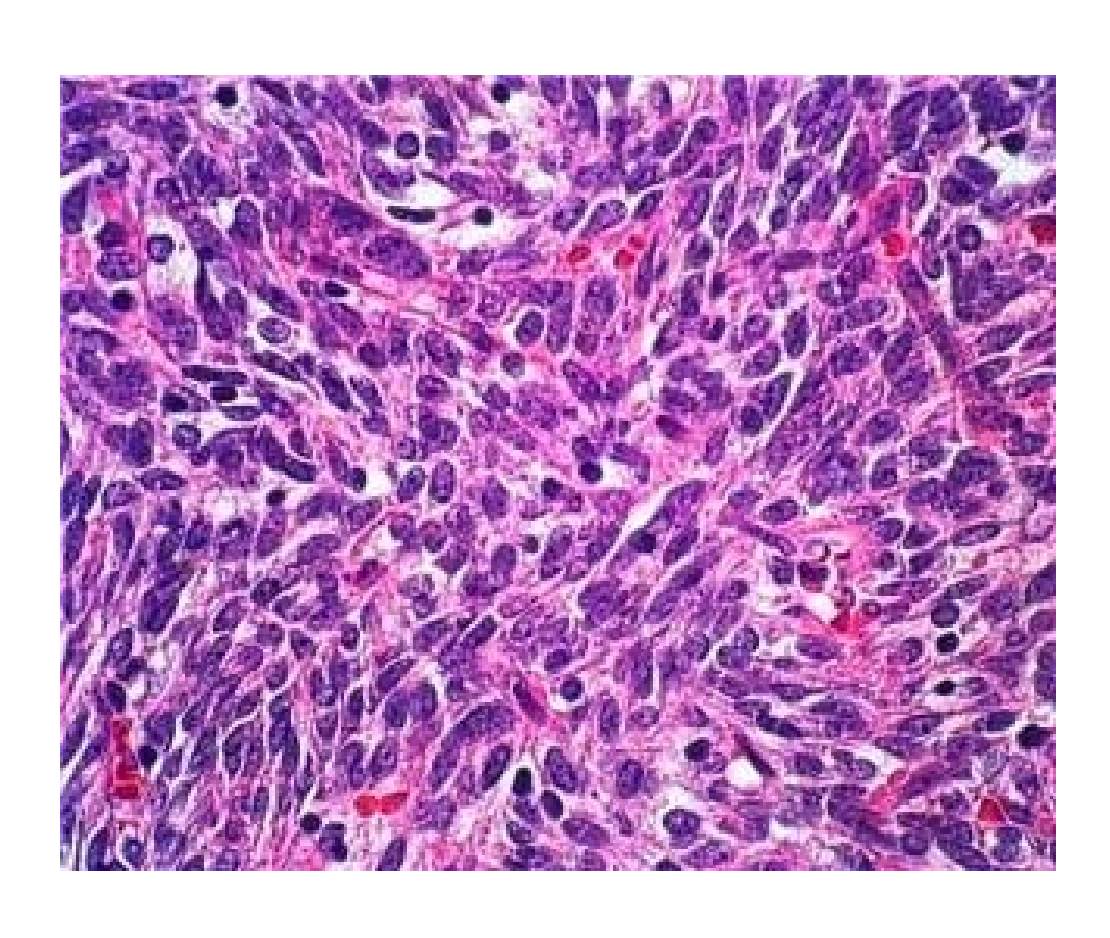


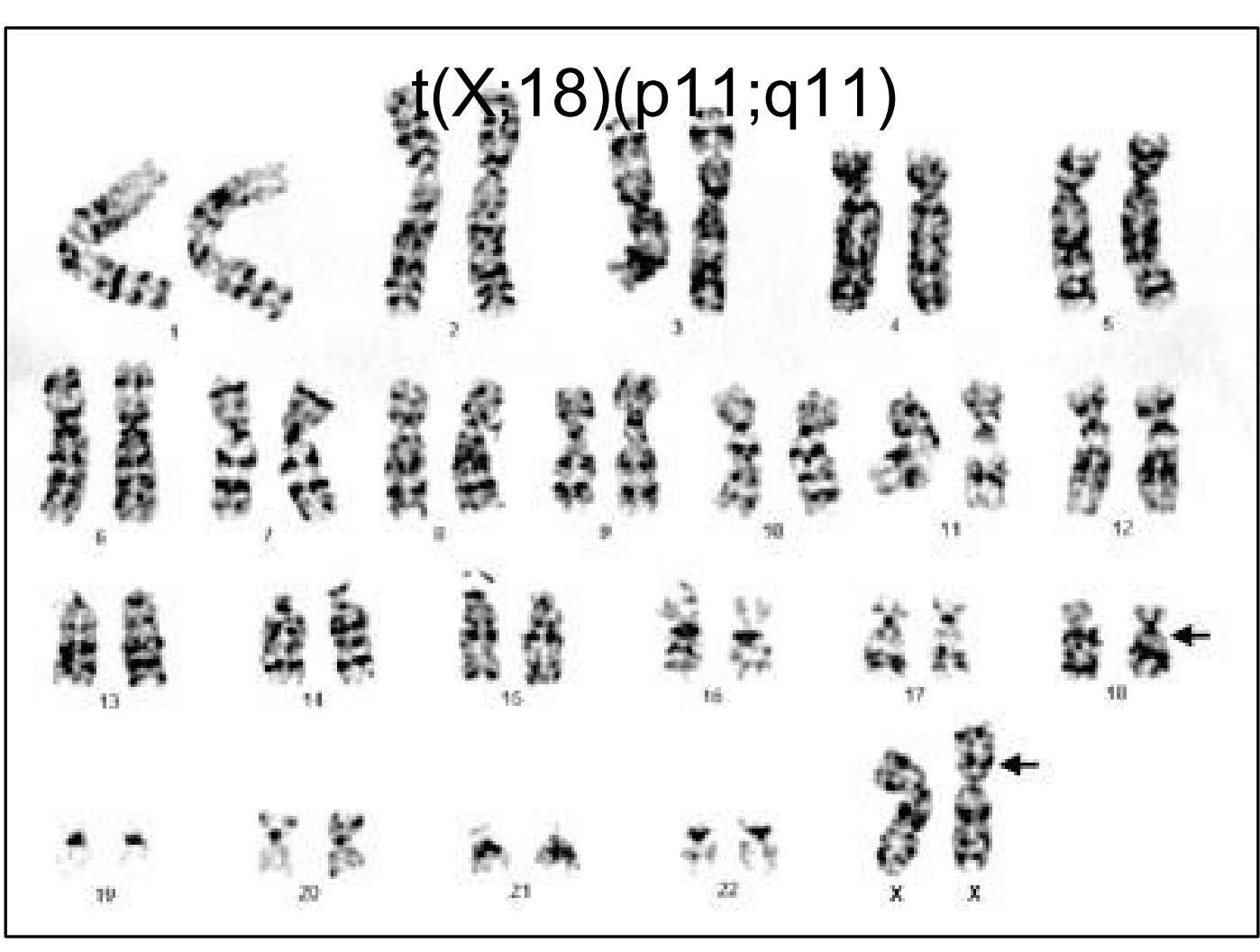
Sarcomi Ewing-Like: riarrangiamento dei geni CIC e BCOR



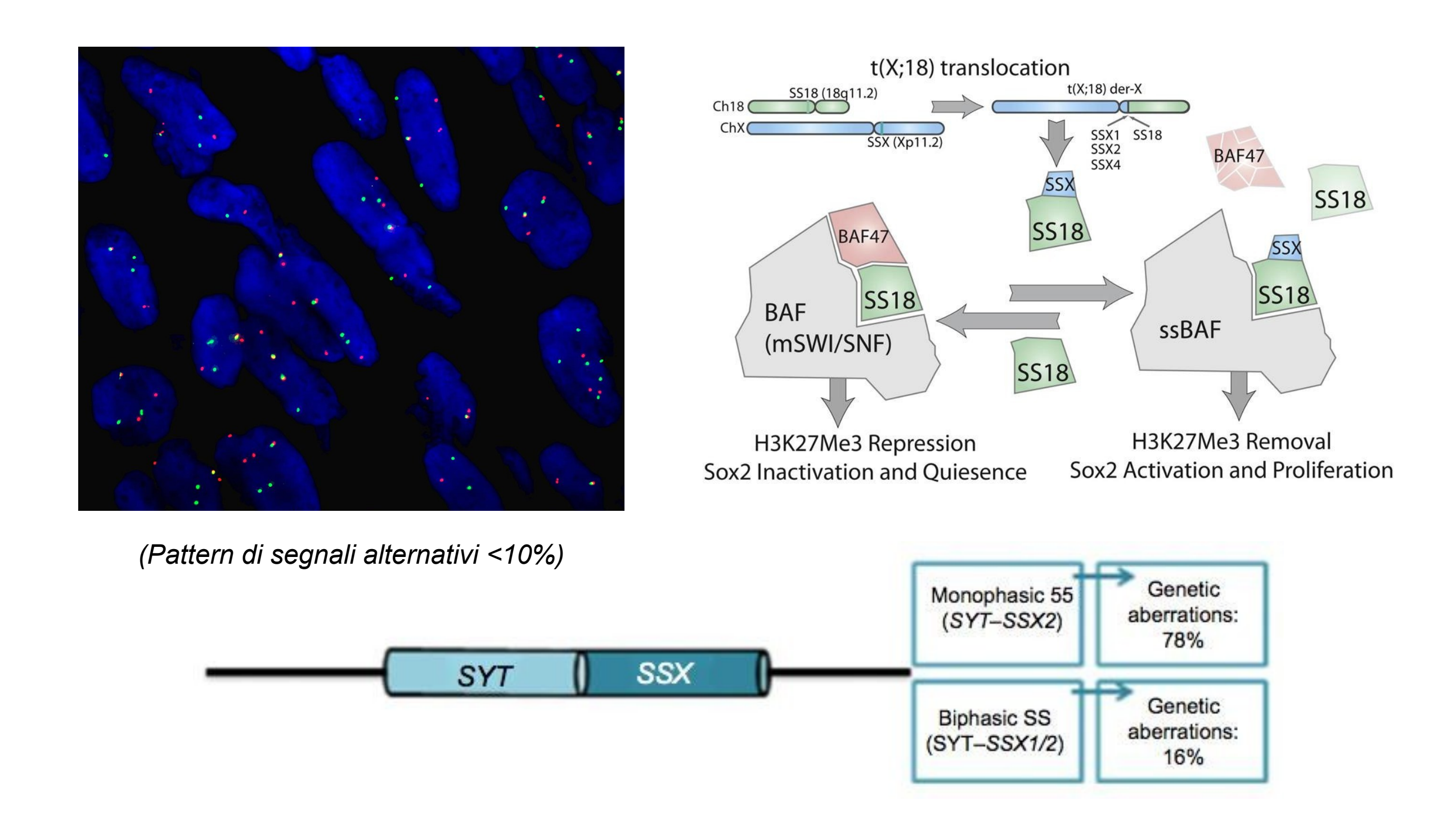
Sarcoma Sinoviale (SS)

Sarcoma di alto grado raro, rappresenta il 5-10% di tutti i sarcomi. Insorge più frequentemente a livello degli arti (soprattutto coscia e ginocchio). Si distinguono per istotipo in monofasico, bifasico e scarsamente differenziato, quest'ultimo con cellule morfologicamente simili al ES. Nel 50% dei casi va incontro a metastatizzazione.





La t(X,18)(p11;q11) determina la fusione tra i geni *SS18* e *SSX1/2*. La proteina chimerica determina una deregolazione trascrizionale che porta ad incremento della proliferazione cellulare e inibizione dell'apoptosi.

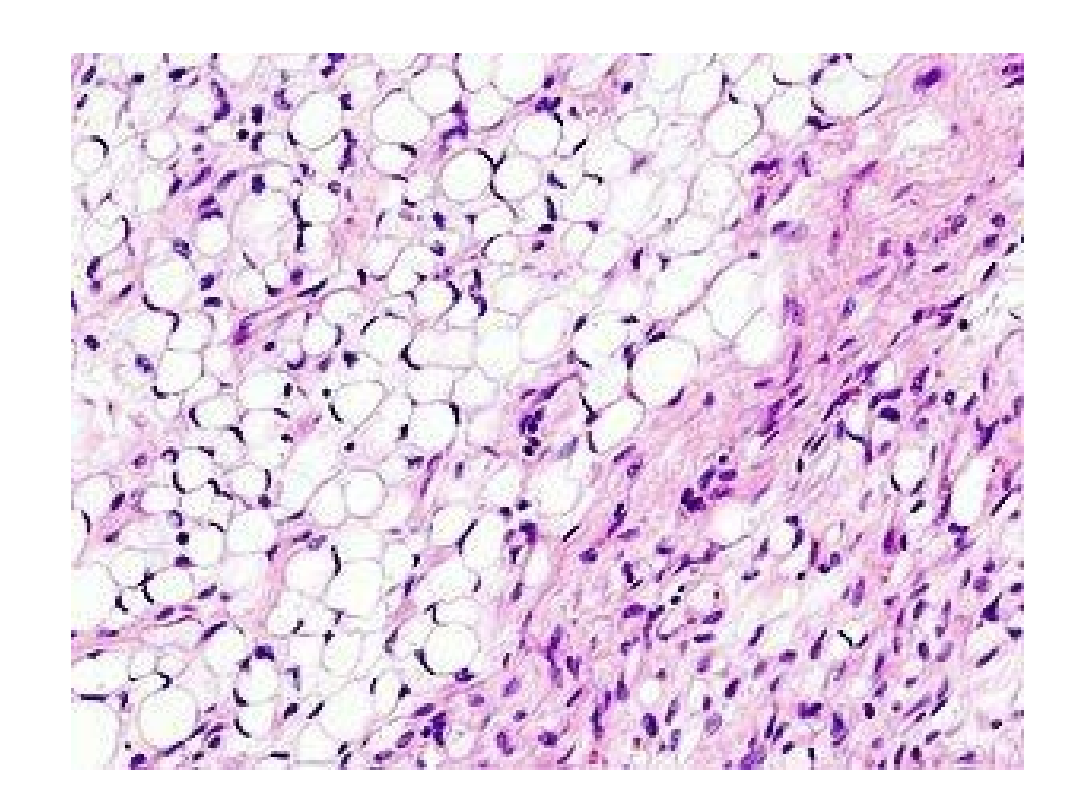


Liposarcomi (LPS)

I Liposarcomi sono tumori mesenchimali originati da precursori adiposi. Rappresentano i tumori sarcomatosi più frequenti negli adulti (circa il 20%).

Principali Istotipi:

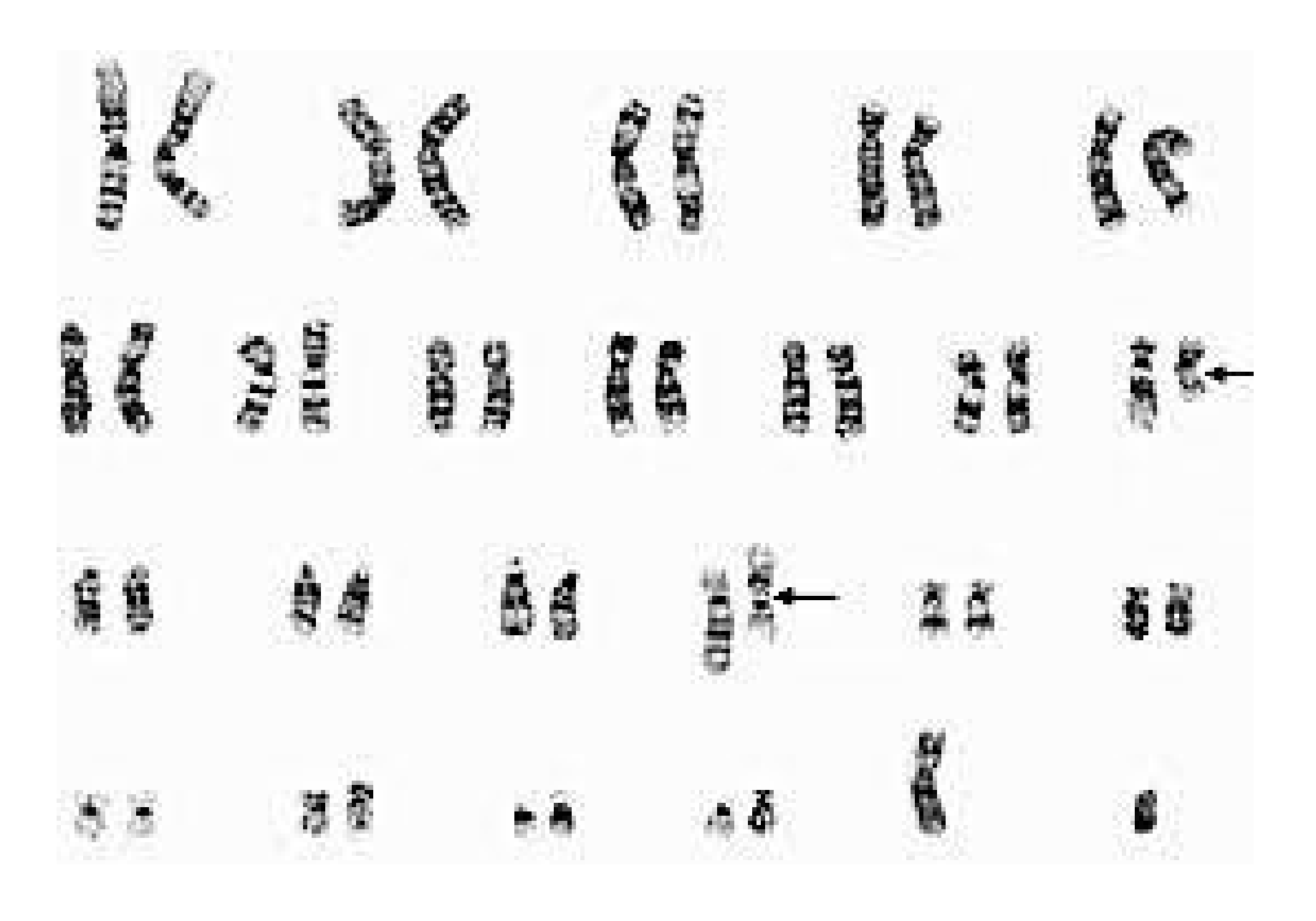
- -Tumore lipomatoso atipico/Liposarcoma ben differenziato (ALT/WDLPS)
- -Liposarcoma dediferrenziato (DDLPS)
- -Liposarcoma mixoide (MLS)
- -Liposarcoma pleomorfo (PLS)



I liposarcomi dedifferenziati e pleomorfi sono gli istotipi più aggressivi, con maggiore potenziale di metastatizzazione.

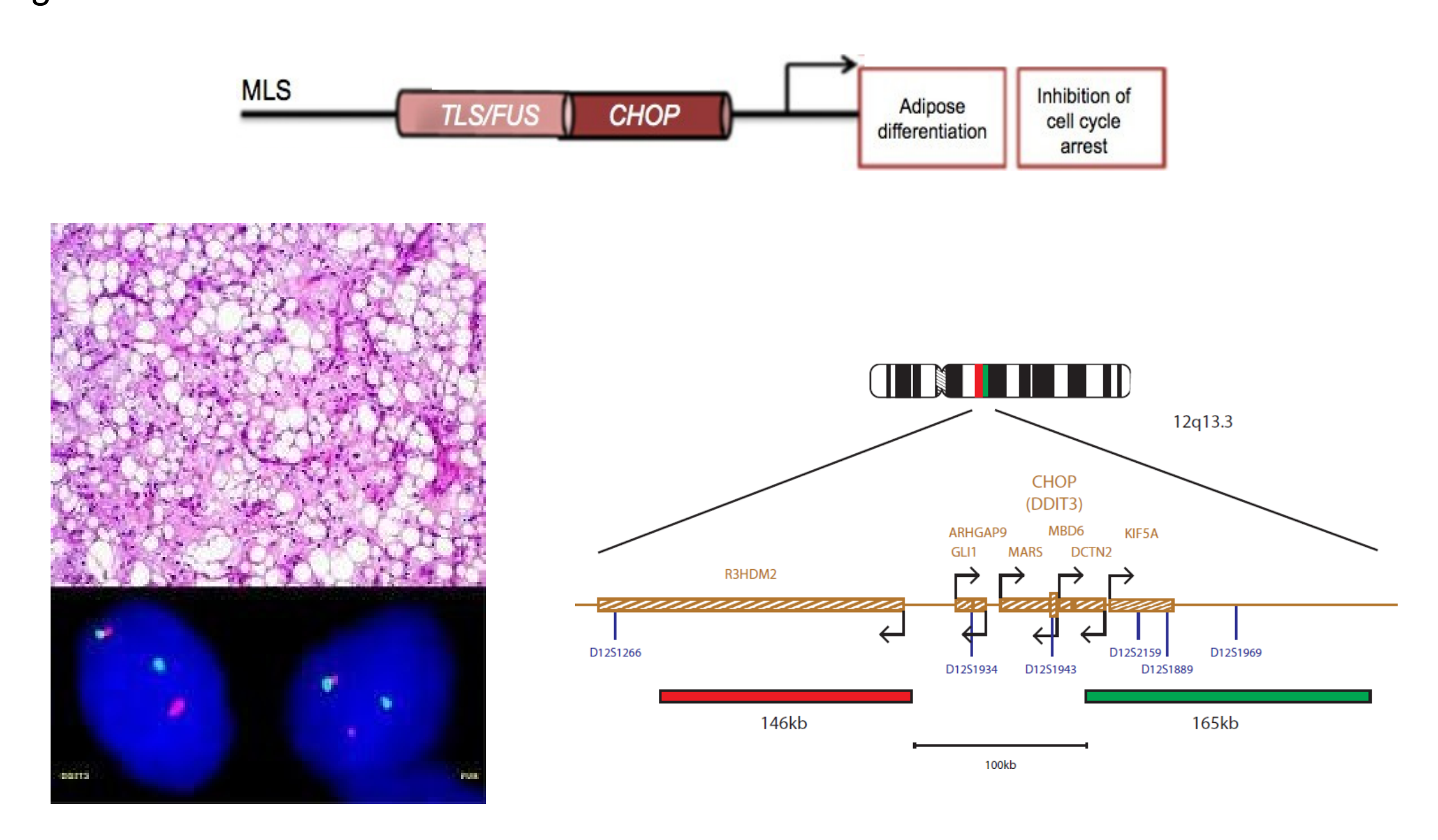
Liposarcoma mixoide (MLS)

Liposarcoma mixoide (MLS): in genere con localizzazione a livello degli arti, è caratterizzato dalla presenza di lipoblasti a diverso stadio di differenziazione di forma rotonda/ovale. Tumore aggressivo con propensione alla metastatizzazione.



t(12;16)(q13;p11)

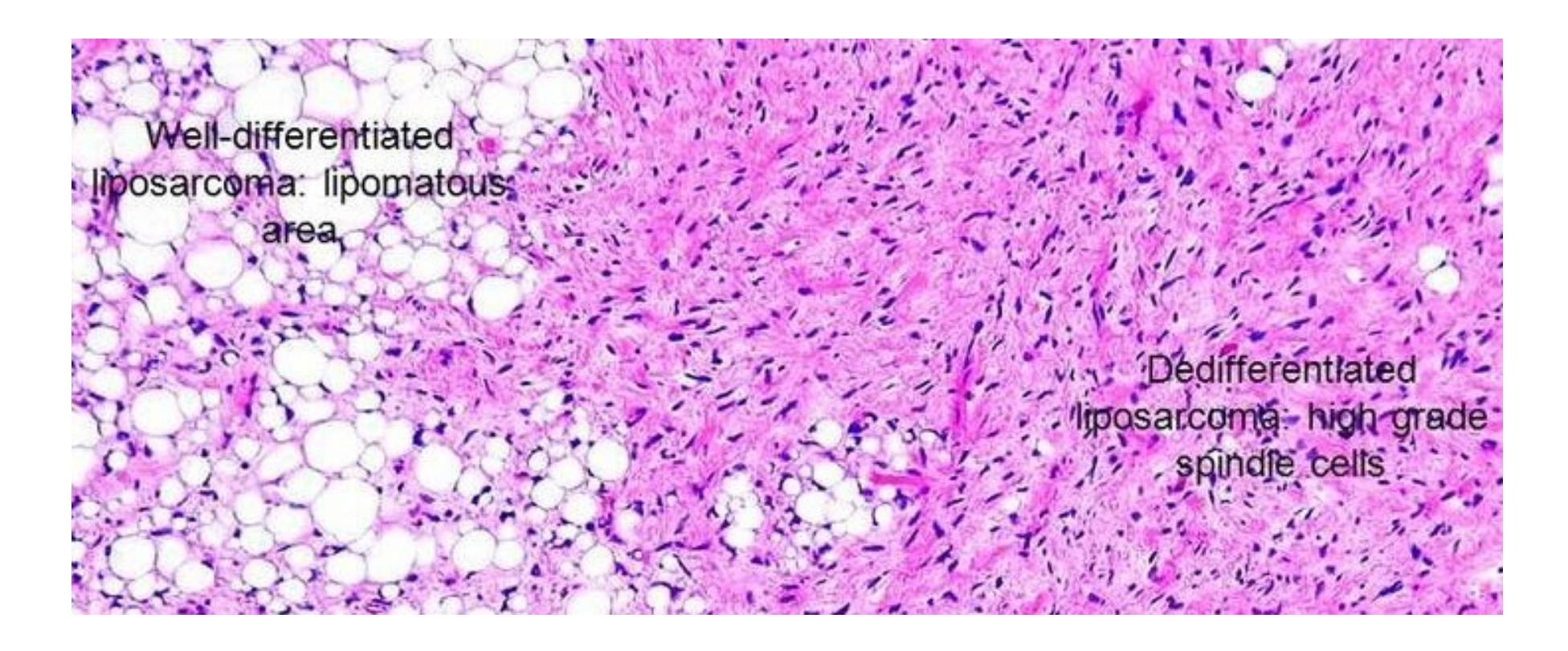
La t(12,16)(q13;p11) determina la fusione tra i geni *FUS* e *DDIT3*, quest'ultimo normalmente coinvolto nei processi di differenziazione adiposa ed inibizione del ciclo cellulare in fase G1/S. La proteina chimerica *FUS-DDIT3* blocca il processo di differenziazione adipocitaria nelle cellule progenitrici mesenchimali.



(Pattern di segnali alternativi <5%)

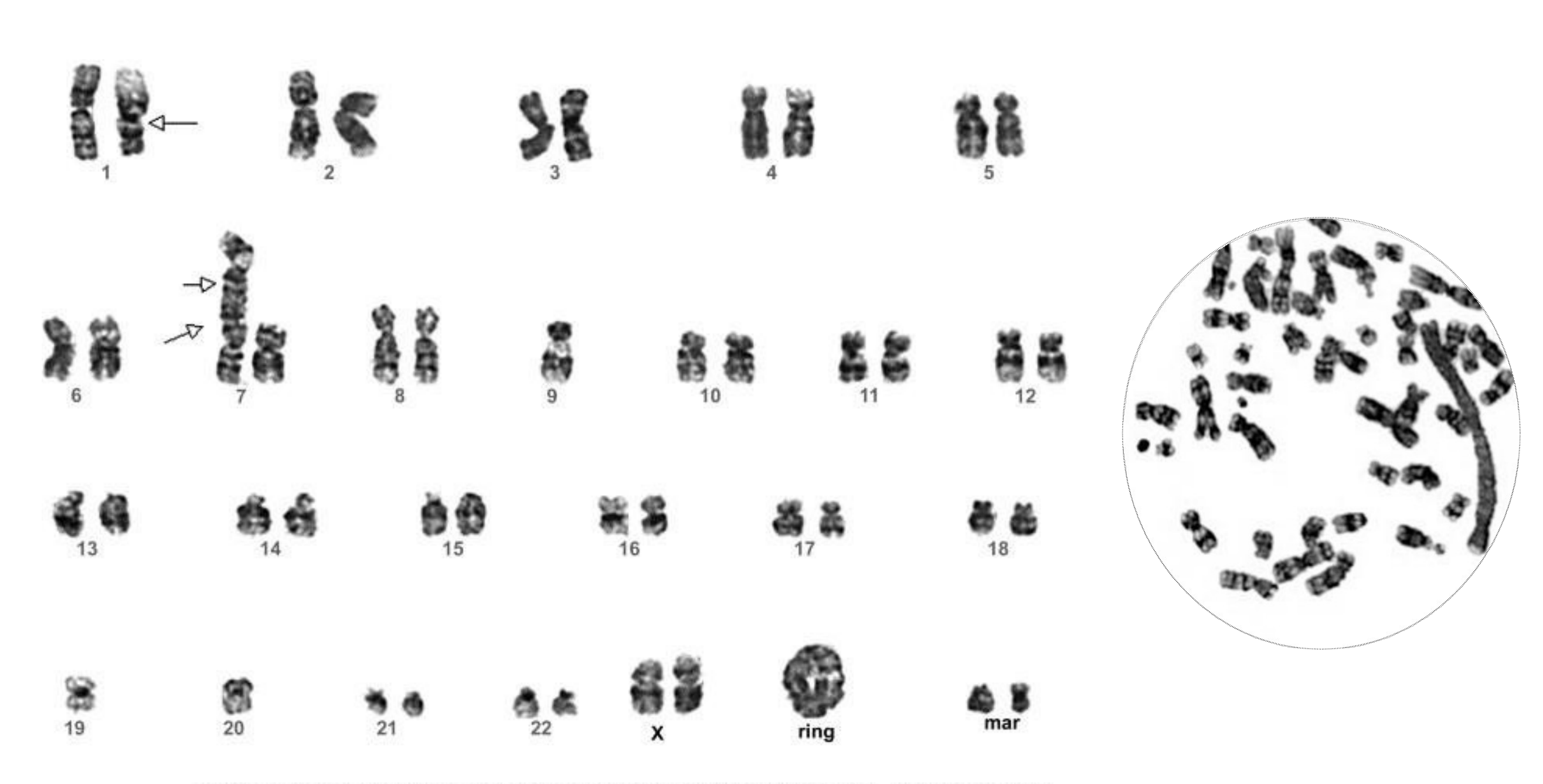
Liposarcoma ben differenziato e dedifferenziato

- Tumore lipomatoso atipico/Liposarcoma ben differenziato (ALT/WDLPS): in genere a localizzazione retroperitoneale, è caratterizzato da prevalentemente da adipociti maturi proliferanti frammisti a lipoblasti e cellule stromali atipiche.
- Liposarcoma dediferrenziato (DDLPS): in genere a localizzazione retroperitoneale, è dovuto ad una deregolazione del normale processo di differenziazione adiposa, si caratterizza per l'assenza di adipociti maturi. Molto più aggressivo del WDLS, con maggiore propensione alla metastatizzazione.



ALT/WDLPS e

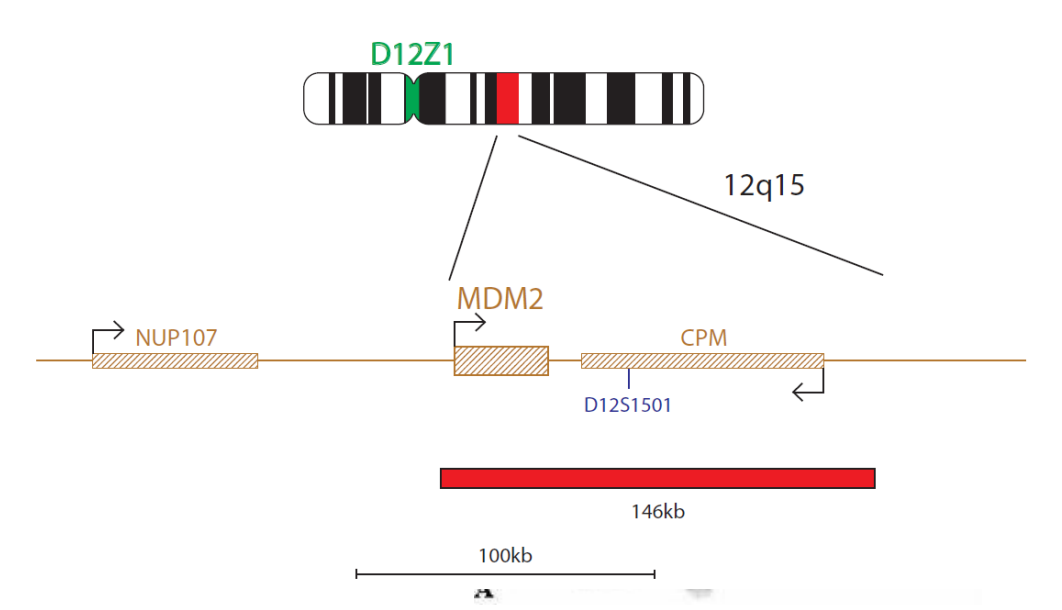
Entrambi si caratterizzano per la presenza di cromosomi ad anallo sovrannumerari o cromosomi marcatori giganti.



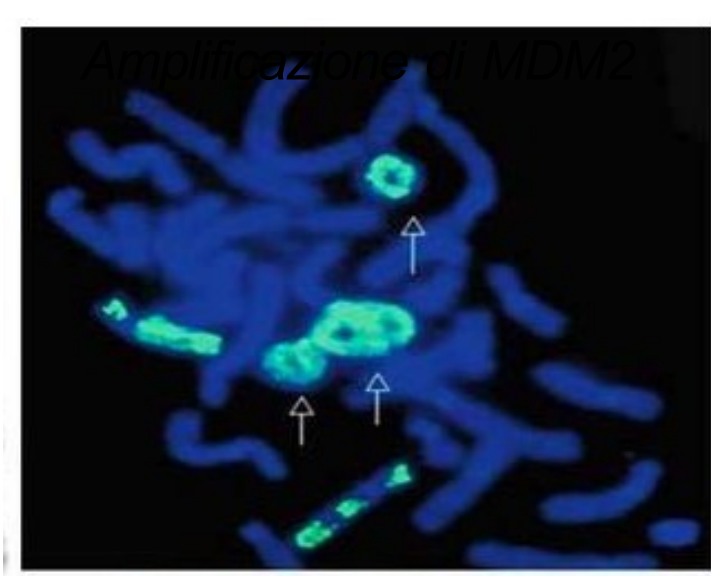
46,XX,add(1)(q21),dic(7;9)(p22;p24)ins(7;?)(p22;?),-19,-20,+r,+2mar

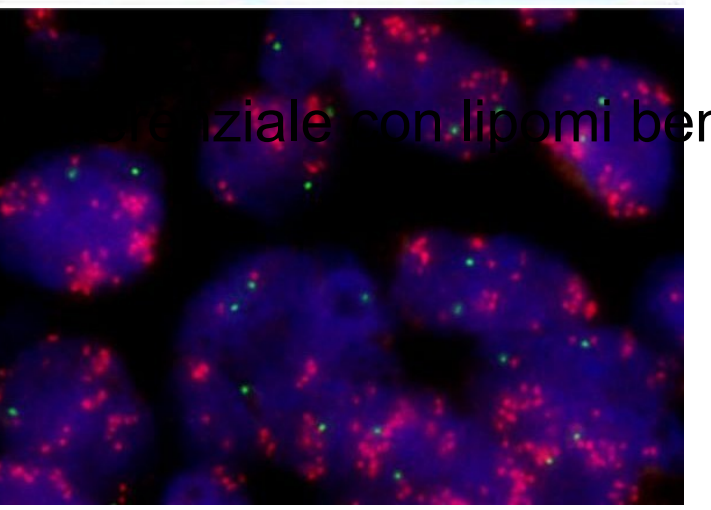
4 nei ALT/WDLPS e DDLPS

Amplificazione della regione 12q13-12q15 in cui mappano i geni *HGMA2* (riscontrata nel 76% dei casi), *MDM2* (87%) e *CDK4* (95%).



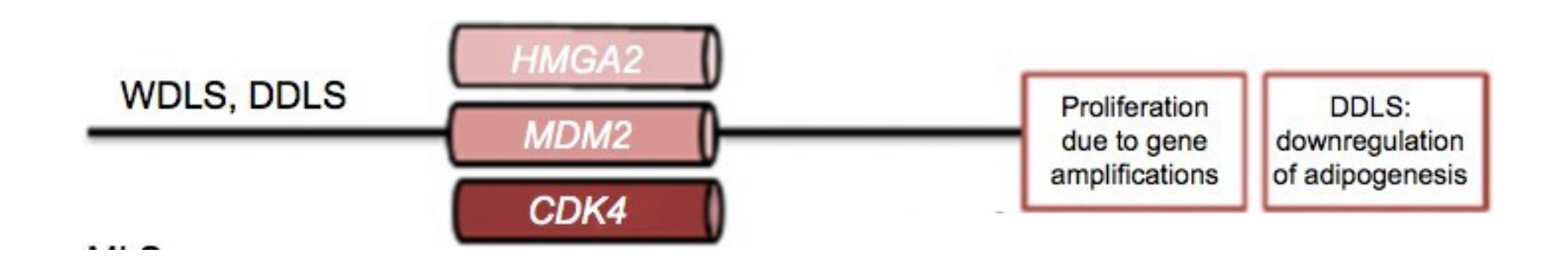
Il riscontro di amplificazione permette la diagnos mixoide o con altri tipi di sarcoma.

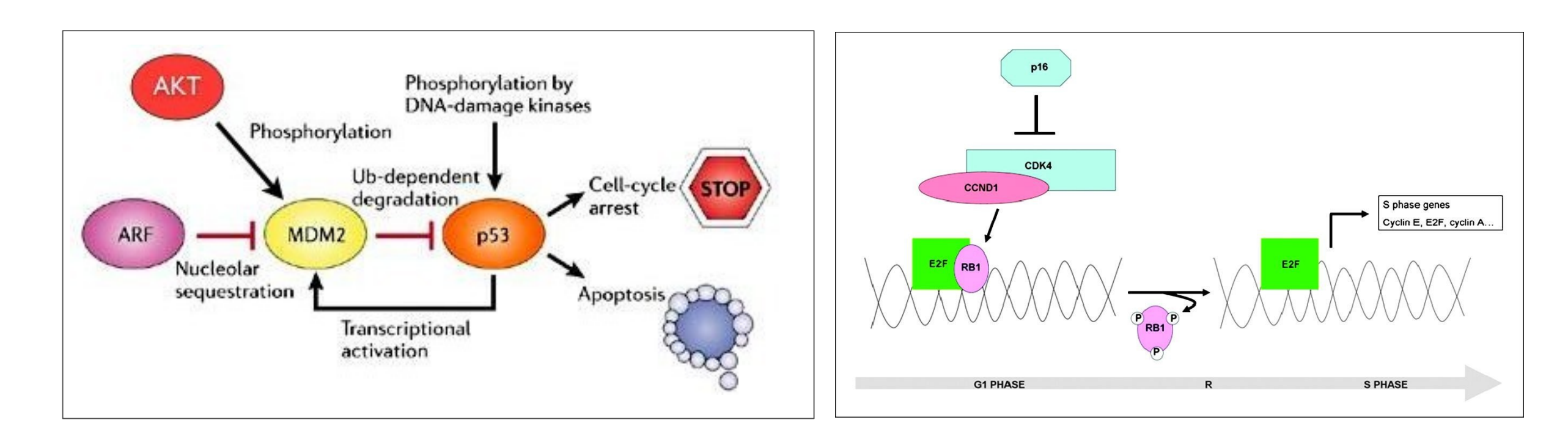




con lipomi benigni, liposarcoma

Il riscontro di entrambe le amplificazioni di *MDM2* e *CDK4* si associa ad elevato rischio di ricorrenza locale (47% VS 12,5% in caso di sola amplificazione di *MDM2*)

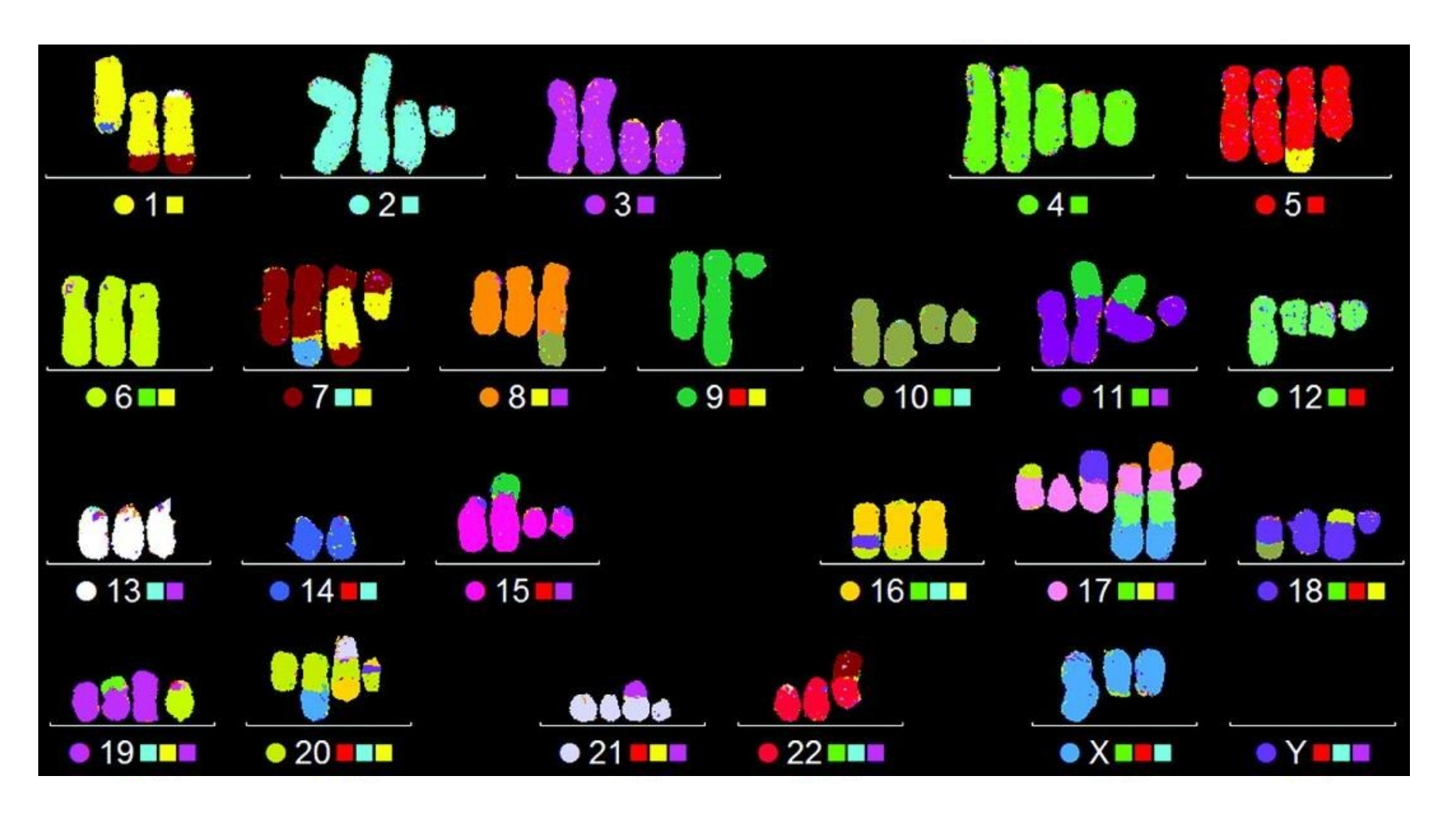




In fase di attivazione nuovi trial clinici con CDK4 inhibitors.

Liposarcoma Pleomorfo (PLS)

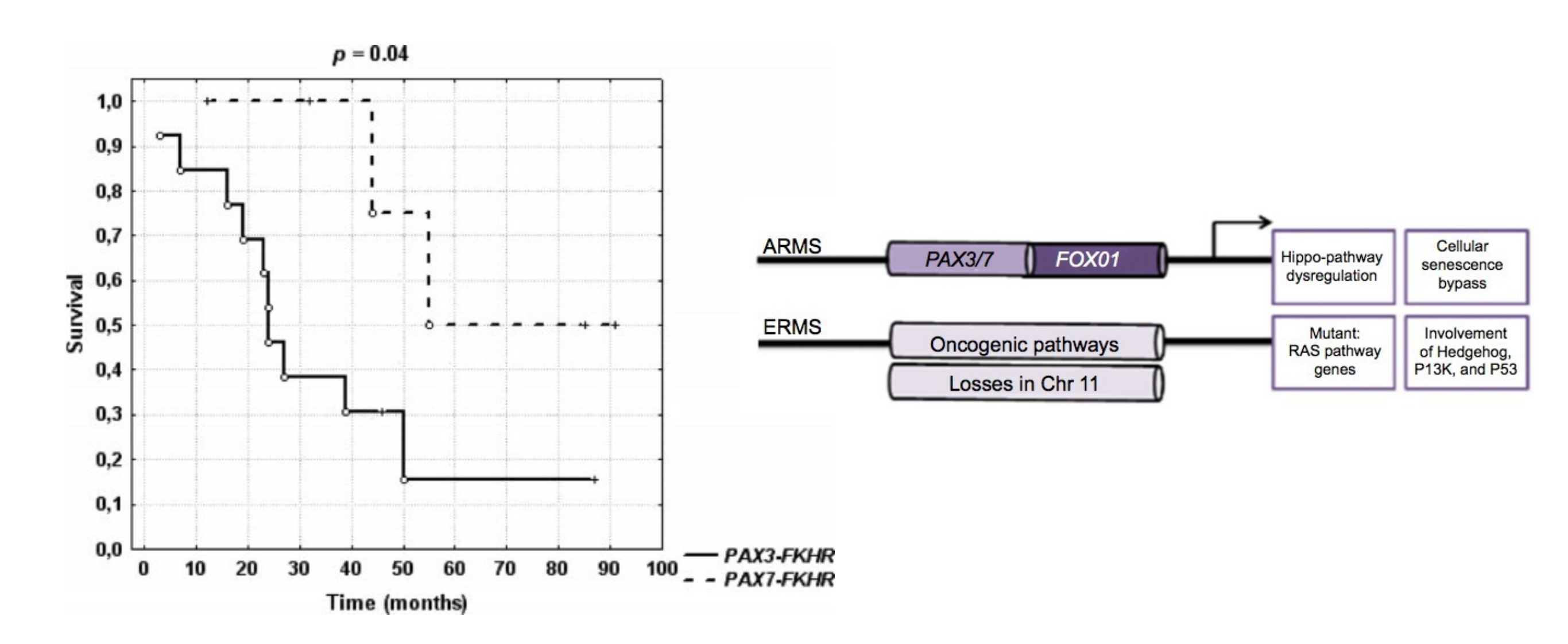
Liposarcoma Pleomorfo (PLS): istotipo meno frequente (5% di tutti i LS). Localizzazione in genere retroperitoneale o negli arti inferiori. Tumore molto aggressivo con propensione alla metastatizzazione. Presenta caratteristiche istologiche inusuali, con lipoblasti pleomorfi a diversi gradi di differenziazione.



<u>Alterazioni ricorrenti</u>: amplificazione 13q31-13q32, *CCND1*, *CCND2*, *MYB*, *MDM2*, *GLI1* e *CDK4*.

Rabdomiosarcoma embrionale (ERMS) ed alveolare (ARMS)

I Rabdomiosarcomi sono tumori di origine muscolare clinicamente molto aggressivi. Il *rabdomiosarcoma embrionale* (*ERMS*) ed il *rabdomiosarcoma alveolare* (*ARMS*) rappresentano i sottotipi più diffusi. Nel 75% dei ARMS si osserva la traslocazione t(2;13) (q35;q14) con fusione il geni *PAX3-FOXO1*, mentre nel 10% la t(1;13)(p36;q14) con fusione dei geni *PAX7-FOXO1*.



Dermatofibrosarcoma protuberans (DFSP)

Raro tumore della cute (1/200.000), localizzato in genere sul tronco o sugli arti. Invade i tessuti circostanti ma raramente metastatizza. Si caratterizza per la traslocazione t(17;22) (q21;q13) con fusione dei geni *COL1A1* e *PDGFRB*.

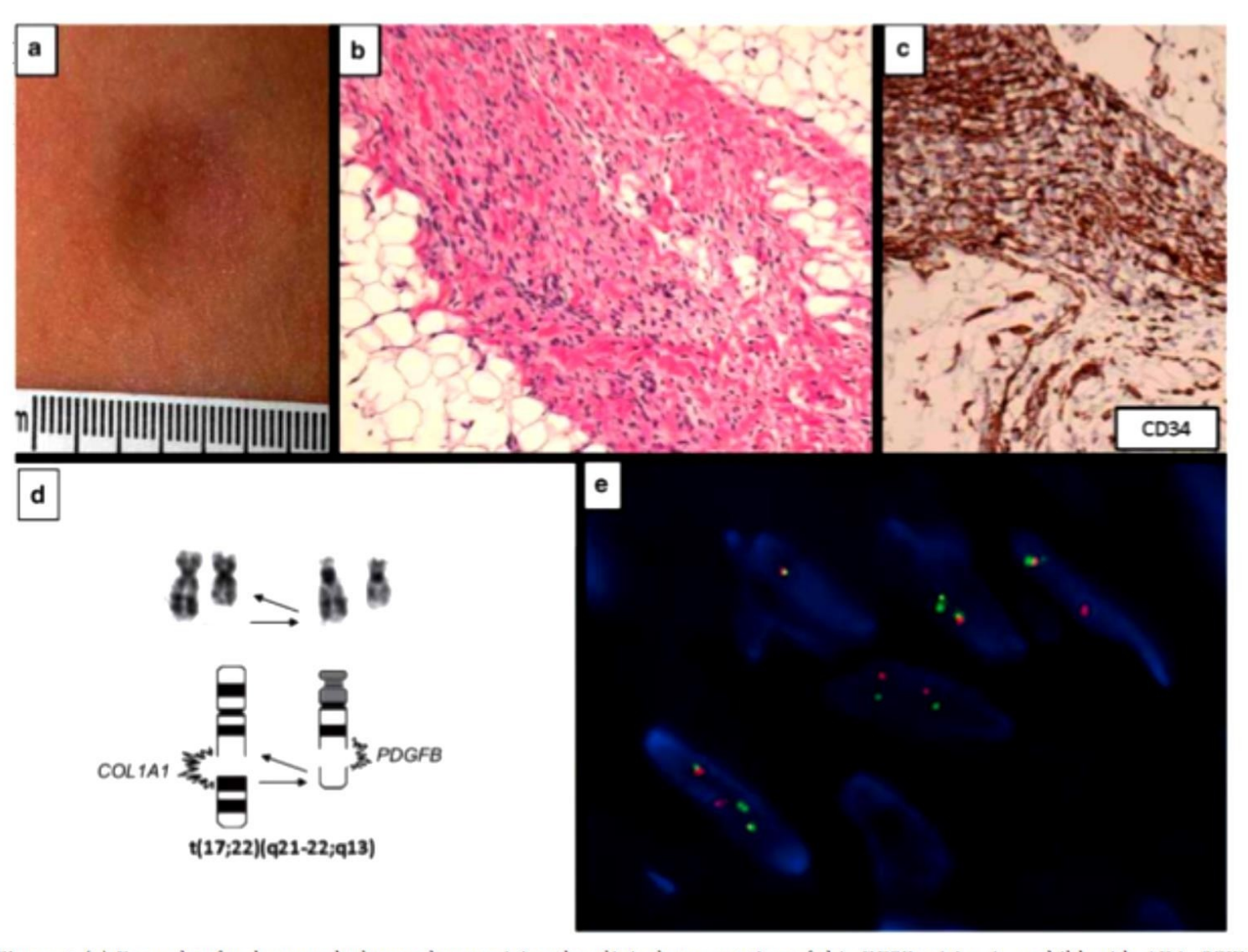
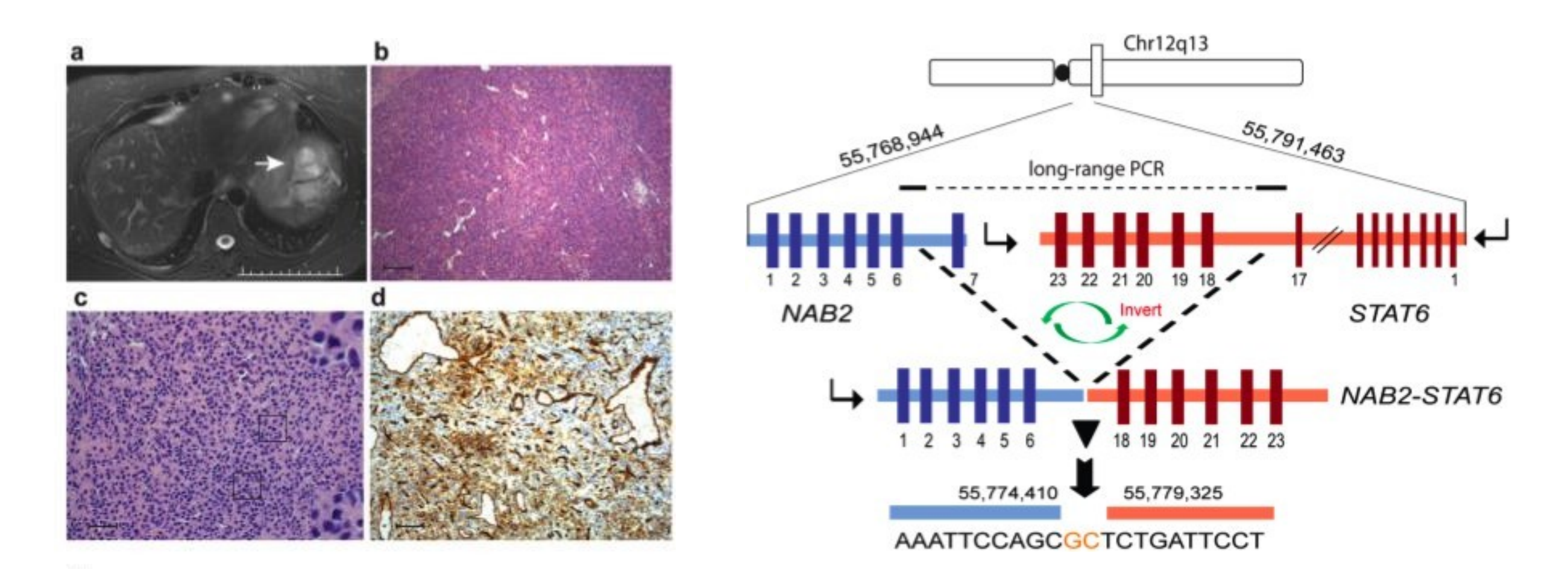


Figure 5 (a) Example of a depressed plaque characterizing the clinical presentation of this DFSP arising in a child with ADA—SCID (courtesy of Drs Fabio Candotti and Robert Sokolic, National Institutes of Health). (b) DFSP invading the subcutanous tissue. (c) CD34 immunoreactivity. (d) Partial karyotype and schematic illustrating the 17:22 translocation of DFSP. (e) FISH analysis with a custom-designed, dual color, dual fusion probe set spanning the COL1A1 and PDGFB loci. Juxtaposed red/green (or yellow) signals represent the COL1A1—PDGFB fusion.

Responsivo al trattamento con inibitori tirosin-chinasici (IMATINIB).

(SFT)

Raggruppa un ampio spettro di tipi di tumori benigni che possono insorgere praticamente in qualsiasi regione del corpo. Circa il 15-20% dei casi presenta un quadro clinico più aggressivo, con recidiva locale o metastasi a distanza, in genere difficili da trattare. Si caratterizza una inversione in 12q13 con fusione dei geni *NAB2* e *STAT6*.



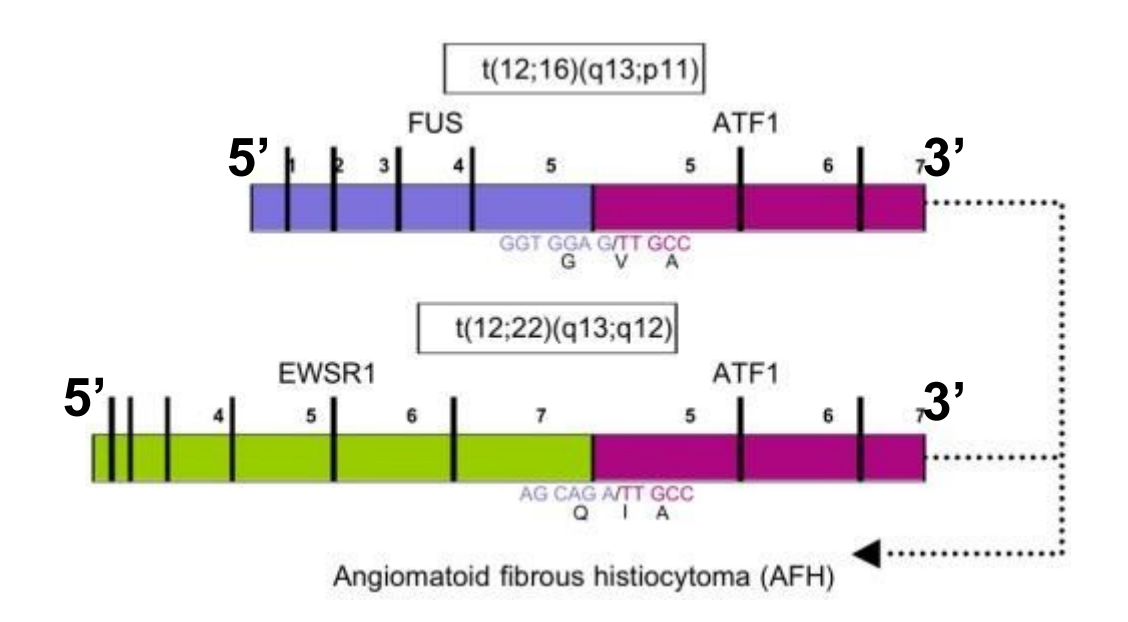
La fusione *NAB2-STAT6* si osserva nel 100% dei casi di SFT, ma **NON può essere** evidenziata mediante analisi FISH .

Malignant	Translocation or other	Fusion gene(s) or other
Synovial sarcoma	t(X;18)(p11.2;q11.2)	SS18-SSX1 SS18-SSX2 SS18-SSX4
	t(X;20)(p11.2;q13.3)	SS18L1-SSX1
Epithelioid sarcoma	22q11.2 anomalies +8q, often as i(8)(q10)	SMARCB1
Alveolar soft part sarcoma	der(17)t(X;17)(p11;q25)	ASPSCR1-TFE3
Clear cell sarcoma of soft tissue	t(12;22)(q13;q12) t(2;22)(q33;q12)	EWSR1-ATF1 EWSR1-CREB1
Extraskeletal myxoid chondrosarcoma	t(9;22)(q22;q12) t(9;17)(q22;q11) t(9;15)(q22;q21) t(3;9)(q12;q22)	EWSR1-NR4A3 TAF15-NR4A3 TCF12-NR4A3 TFG-NR4A3
Extraskeletal Ewing sarcoma	t(11;22)(q24;q12) t(21;22)(q22;q12) t(7;22)(q22;q12) t(17;22)(q21;q12) t(2;22)(q36;q12) t(16;21)(p11;q22) t(2;16)(q36;p11)	EWSR1-FLI1 EWSR1-ERG EWSR1-ETV1 EWSR1-EIAF EWSR1-FEV FUS-ERG FUS-FEV
Desmoplastic small round cell tumor	t(11;22)(p13;q12)	EWSR1-WT1
Embryonal rhabdomyosarcoma	Loss or UPD of 11p15.5 +2, +8, +11, +12, +13, +20	IGF2, H19, CDKN1C and HOTS
Alveolar rhabdomyosarcoma	t(2;13)(q35;q14) t(1;13)(p36;q14) t(X;2)(q13;q35) t(2;2)(q35;p23) t(2;8)(q35;q13) t(8;13)(p12;q13)	PAX3-FOXO1 PAX7-FOXO1 PAX3-FOXO4 PAX3-NCOA1 PAX3-NCOA2 FOXO1-FGFR1
Atypical lipomatous tumor/well- differentiated liposarcoma Dedifferentiated liposarcoma	Supernumerary ring or giant rod marker chromosome(s) containing amplified sequences of 12q14-15	MDM2 amplification ± CDK4 amplification a other frequently co-amplified genes HMGA2, YEATS4, CPM, FRS2
Myxoid/round cell liposarcoma	t(12;16)(q13;p11) t(12;22)(q13;q12)	FUS-DDIT3 ← ← ← ← ← ← ← ← ← ← ← ← ← ← ← ← ← ← ←
Dermatofibrosarcoma protuberans	t(17;22)(q21.3;q13) or r(17;22)	COL1A1-PDGFB
Extrapleural solitary fibrous tumor	12q13 rearrangements	NAB2-STAT6
Inflammatory myofibroblastic tumor	t(1;2)(q22;p23) t(2;19)(p23;p13) t(2;17)(p23;q23) t(2;2)(p23;q13) t(2;2)(p23;q35) t(2;11)(p23;p15) t(2;4)(p23;q21) inv(2)(p23q35) t(2;12)(p23;p11)	TPM3-ALK TPM4-ALK CLTC-ALK RANBP2-ALK ATIC-ALK CARS-ALK SEC31A-ALK ATIC-ALK PPFIBP1-ALK

Geni promiscui nella patogenesi tumorale

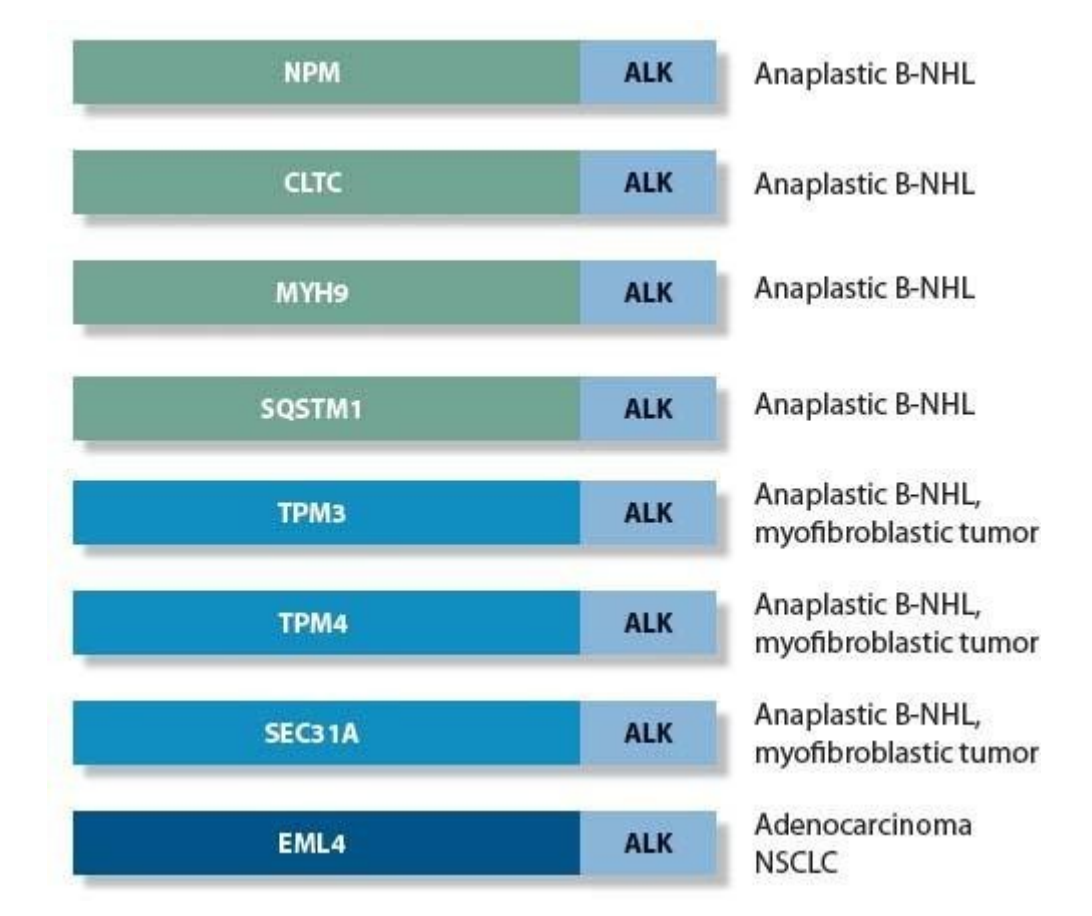
PARTNER of EWSR1	TUMOR
ZNF384	Acute leukemia
ATF1, CREB1	Angoimatoid fibrous histiocytoma
ATF1, CREB1	Clear cell sa.
ATF1, CREB1	Clear cell sarcoma-like tu. GI tract
WT1	Desmoplastic small round cell tu.
NR4A	Extrascheletal myxoid condrosarcoma
EIAF, ERG, ETV1, FLI1, FEV, NFATC2, PATZ1, SMARCA5, SP, ZNF278	Ewing sa.
CREB3L1	Low grade fibromyxoid sa.
ATF1	Malignant melanoma
DDIT3	Myxoid liposarcoma
ATF1,CREB1	Primary pulmonary mixoid sa.
CREB3L1	Sclerosing epitheliod fibrosarcoma
ATF1	Hyalinising clear cell ca. salivary gland
YY1	Mesothelioma
POU5F1	Mucoepidermoid ca.a salivary gland
POU5F1	Skin hydroadenoma
PBX1, POU5F1, ZNF44, ATF1	Myoepithelioma soft tissue

La presenza del riarrangiamento del gene *EWSR1* non è quindi tumore-specifica, ma deve essere contestualizzata con il quesito diagnostico posto dal patologo.



Gene in 5': potente promotore trascrizionale (EWSR1, FUS)

Gene in 3 ': dominio di legame al DNA (definisce il profilo tracrizionale tumore specifico)



Gene in 5': proteina ad espressione ubiquitaria

Gene in 3': dominio catalitico di un recettore tirosin chinasico (ALK, ROS1, NTRK)

PARTNER of ALK	TUMOR
ALO17, ATC, MYH9. MSN, NPM1, RNF213, TFG, TPM3	Anaplastic large cell lymphoma
ELM4	Breast cancer
EML4	Colon cancer
A2M	Fetal lung interstitial tu.
ATC, CARS, CLT1, TPM3, TPM4, RANPB2, SEC31A	Inflammatory myofibroblastic tu.
VCL	Medullary kidney ca.
RANBP2	Myeloproliferative disorders
ELM4, C2orf44, HIP1, K1F5B, TGF, TRP, ROS1	Non-small cell lung ca.
TPM4	Oesophageal squamous cell ca.
FNI	Ovarian stromal sa.
TPM3	Systemic Histiocytosis
CLTC, NPM1, SEC31A, SQSTM1	Subgroup DLBCL
EML4, STRN	Thyroid ca.
PARTNER of BCOR	TUMOR
RARA	Acute leukemia
ZC3H7B	Endometrial stromal sa.
CCNB3	Sarcoma Ewing-like
PARTNER of ETV6	TUMOR
ABL1, ACSL1, ACSL6, ARNT, CHIC2, JACK2, MN1, NCOA2, NTRK3, PAX5, PDGFRA, PDGFRB, RUNX1, TTL	Acute leukemia
NTRK3	Congenital mesoblastic lymphom
NTRK3	Infantile fibrosarcoma
NTRK3	Secretory breast ca.
NTRK3	Secretory ca. of salivary gland
NTRK3	Thyroid ca.
PARTNER of FGFR (FGFR-Member)	TUMOR
TACC3, BAIAP2L1(FGFR3)	Bladder ca.
ERLIN2 (FGFR1); AFF3, CASP7, CCDC6 (FGFR2)	Breast ca.
CEP110 (FGFR1)	Mieoproliferative syndrome
BAG4 (FGFR1); BICC1, TACC3, CIT, KIAA1967(FGFR2)	Non-small cell lung cancer
TACCI(FGFR1); TACC3(FGFR3)	Glioblastoma
BICC1(FGFR2)	Metastatic colangiocarcinoma
SLC45A3 (FGFR2)	Prostate ca.
OFD1(FGFR2)	Thyroid ca.
Epithelial lineage; Hematological lineage; Mesenchymal lin carcinoma; sa.= sarcoma; tu. = tumor	eage; Neuroepithelial lineage; ca.

PARTNER of NCOA2	TUMOR
ETV6, MYSTR3	Acute leukemia
PAX3	Alveolar rabdomyosarcoma
AHRR, GTF21	Angiofibroma
HEY1	Chondrosarcoma
PARTNER of PHF1	TUMOR
RARA	Acute promyelocytic leukemia
CCNB3	Ewing sarcoma-like
ZC3H7B	Endometrial stromal sa.
PARTNER of RET	TUMOR
BCR, FGFR1OP	Chronic myelomonocytic leukemia
CCDC6, KIF5B, NCOA, CUX1	Non-small cell lung cancer
CCD6, ELKS, Golgas, HOOK3, NCOA4, KTN1, RFG9, PCM1, PRKAR1A, TRIM24, TRIM27, TRIM33	, Thyroid papillary ca.
PARTNER of TFE3	TUMOR
ASPSCR1	Alveolar soft part sa.
YAP1	Epithelioid haemangioepithelioma
RREB1	Inflammatory myofibroblastic tu.
PSF	Perivascular epithelioid cell tu.
ASPSCR1, PRCC, PSF, NonO, CLTC	Xp11-renal cell ca.
Epithelial lineage; Hematological lineage; Mesenchymal lineage = tumor	ge; ca. = carcinoma; sa.= sarcoma; t

Algoritmo diagnostico

